

This Page Is Inserted by IFW Operations
and is not a part of the Official Record

BEST AVAILABLE IMAGES

Defective images within this document are accurate representations of the original documents submitted by the applicant.

Defects in the images may include (but are not limited to):

- BLACK BORDERS
- TEXT CUT OFF AT TOP, BOTTOM OR SIDES
- FADED TEXT
- ILLEGIBLE TEXT
- SKEWED/SLANTED IMAGES
- COLORED PHOTOS
- BLACK OR VERY BLACK AND WHITE DARK PHOTOS
- GRAY SCALE DOCUMENTS

IMAGES ARE BEST AVAILABLE COPY.

**As rescanning documents *will not* correct images,
please do not report the images to the
Image Problem Mailbox.**

Japanese Laid-Open Patent

Laid-Open Number: Sho 59-35488

Laid-Open Date: February 27, 1984

Application Number: Sho 57-146561

Application Date: August 24, 1982

Applicant: Semiconductor Energy Laboratory, Co., Ltd.

A semiconductor device is claimed in claim 1, wherein said structure is substantially identical to that of the prior art, except that a semiconductor layer is made of silicon or germanium to which an impurity is added, and a semi-conductor or an insulator is formed on the surface of the semiconductor layer.

The device is claimed in claim 2, wherein the semiconductor layer is made of silicon or germanium to which an impurity is added, and a semi-conductor or an insulator is formed on the surface of the semiconductor layer.

The device is claimed in claim 3, wherein the semiconductor layer is made of silicon or germanium to which an impurity is added, and a semi-conductor or an insulator is formed on the surface of the semiconductor layer.

The device is claimed in claim 4, wherein the semiconductor layer is made of silicon or germanium to which an impurity is added, and a semi-conductor or an insulator is formed on the surface of the semiconductor layer.

The device is claimed in claim 5, wherein the semiconductor layer is made of silicon or germanium to which an impurity is added, and a semi-conductor or an insulator is formed on the surface of the semiconductor layer.

JP0 59

1. Title of the Invention

SEMICONDUCTOR DEVICE

2. Scope of Patent Claim

5 1. A semiconductor device including a substrate or a first electrode formed on the substrate, a non-single crystal semiconductor having at least one PIN junction on said electrode, and a second electrode on said semiconductor, characterized in that an intrinsic or substantially intrinsic semiconductor layer constituting said PIN junction contains at
10 least oxygen having the impurity concentration of $5 \times 10^{16} \text{ cm}^{-3}$ or less or carbon contaminated in the form of a cluster having the impurity concentration of $4 \times 10^{17} \text{ cm}^{-3}$ or less.

2. A semiconductor device as claimed in claim 1, wherein said intrinsic or substantially intrinsic semiconductor layer is made of silicon or germanium to which hydrogen or halogen element having a semi-amorphous or amorphous structure with lattice distortion.

3. A semiconductor device as claimed in claim 1, wherein a P-type semiconductor layer or N-type semiconductor
20 layer contains oxygen having the concentration of $5 \times 10^{16} \text{ cm}^{-3}$ or less.

4. A semiconductor device as claimed in claim 1, wherein a P-type semiconductor layer or N-type semiconductor layer is formed of a polycrystal semiconductor including a
25 microcrystal a particle size of which is 30 to 150 Å or a fiber structure a crystal particle diameter of which is 150 to 400 Å.

3. Detailed Description of the Invention

30 The present invention relates to a photoelectric conversion device having at least one PIN junction, said device fabricated by using a high purity gas for semiconductor fabrication whose concentration of carbon or oxygen is decreased to an extremely low level, and to a process for fabricating the same.

35 An object of the present invention is to provide a photoelectric conversion device comprising a substrate, optionally having thereon a first electrode, and a non-single crystal semiconductor layer having at least a PIN junction fabricated by depositing layers of a P-type, an I-type, and an
40 N-type semiconductor. In an intrinsic or a substantially intrinsic semiconductor layer (i.e., a semiconductor layer into which a P-type or an N-type impurity is added either accidentally or intentionally at a concentration of from 1×10^{14} to $5 \times 10^{17} \text{ cm}^{-3}$) which generates photovoltaic force upon

irradiation of light in the photoelectric conversion device according to the present invention, it is an object to decrease the concentration of oxygen or carbon which induces the generation of recombination centers or which enhances the insulating characteristics to a super low level.

The object above is accomplished in the present invention by taking advantage of the molecular size of the reactive gas that is used in the device fabrication, for example, a gaseous silicide such as silane, polysilane, and silicon fluoride, or a gaseous germanium compound such as germane. More specifically, the reactive gases above have an effective molecular diameter of 4.8 Å or larger.

Accordingly, impurities having an effective molecular diameter (referred to simply hereinafter as "molecular diameter") of 4.5 Å or less, for instance, a gaseous oxide such as water (H_2O), gaseous carbon dioxide (CO_2), and gaseous oxygen (O_2); or a gaseous carbide such as methane (CH_4), ethane (C_2H_6), propane (C_3H_8), CH_3OH , and C_6H_6 ; can be adsorbed and separated from the reactive gas using a molecular sieve or a zeolite having an effective pore diameter in the range of from 2.9 to 4.65 Å.

The adsorption ability of the molecular sieve or the zeolite can be further enhanced to 50 times or more of its ordinary ability by cooling the adsorbent to a temperature in a range of from -100 °C to room temperature, preferably, in a range of from -70 to -20 °C.

In this manner, the initial intrinsic conversion efficiency of 6 to 8 % under an AM1 condition (100 mW/cm²) of a non-single crystal semiconductor, particularly, of an amorphous semiconductor, can be increased to a range of from 11 to 14.5 %.

Particularly in the I-type layer, i.e., the active semiconductor layer, the concentration of oxygen is lowered from the conventional level in a range of from 2×10^{18} cm⁻³ to 4×10^{18} cm⁻³ to a range not higher than 5×10^{16} cm⁻³, preferably to a range of from 1×10^{16} to 1×10^{14} cm⁻³, and further lowering the concentration of carbon clusters to a level of 4×10^{17} cm⁻³ or lower, preferably, to a range of from 4×10 to 1×10 cm⁻³. Carbon clusters as referred herein signifies cluster-like carbon atoms that are combined by a plurality of C-C bonds inside the semiconductor. In this manner, the density of recombination centers inside a semiconductor, for example, a silicon semiconductor, is successfully

lowered from the initial $1 \times 10^{18} \text{ cm}^{-3}$ to $1 \times 10^{17} \text{ cm}^{-3}$ or lower, and preferably, to a range of from 5×10^{14} to $1 \times 10^{16} \text{ cm}^{-3}$.

Conventionally, inside a semiconductor, specifically a silicon semiconductor, oxygen atoms have been believed to locally form Si-O-Si bonds to impart insulating properties to the semiconductor. However, in case oxygen atoms aggregate into a cluster containing from several to several tens of atoms inside the semiconductor, the clusters then provide recombination centers for the electrons or holes. These recombination centers function as killers of the minority carriers which generate upon the irradiation of a light. It has been confirmed that this clearly occurs in a non-single crystal semiconductor fabricated by a plasma enhanced chemical vapor deposition process. Furthermore, the dangling bonds of oxygen have found to function as N-type donor centers. Thus, it has been found that a semi-amorphous (semi-crystalline) structure-sensitive non-single crystal semiconductor having lattice strain is readily rendered N type-conductive.

Accordingly, it is believed particularly important from an industrial point of view to fabricate a structure-sensitive intrinsic semiconductor from which oxygen atoms are substantially removed. The oxygen atoms are preferably present at a concentration as low as possible, because they provide the donor centers. Intrinsic semiconductors as referred herein signify those having a Fermi level at approximately the center of the band width.

Considering carbon atoms, furthermore, ethane and other hydrocarbon compounds expressed by C_mH_n (where, $m \geq 2$) have found to directly intrude into the semiconductor to generate a plurality of recombination centers. These recombination centers decrease the life time of carriers, and particularly, that of the holes.

In the light of the aforementioned circumstances, the semiconductor device according to the present invention is characterized in that impurities are removed from the silicon semiconductor. The device according to the present invention is also characterized in that said semiconductor comprises silicon added therein hydrogen or oxygen atoms as the principal components, because hydrogen and oxygen atoms function to neutralize the recombination centers, and that a trivalent or pentavalent impurity is added at a concentration of from 10^{14} to $3 \times 10^{17} \text{ cm}^{-3}$ to shift the Fermi level of the resulting semiconductor.

In general, silane molecules are less than 5 Å (more specifically, from 4.8 to 5 Å) in effective molecular diameter. Germane molecules are about 6 Å in diameter. (Polysilane are further larger in effective molecular diameter.)

Considering a reactive gas comprising molecules having the smallest effective molecular diameter, i.e., silane (monosilane) molecules, for instance, the gas contains other impurities as listed in Table 1.

Table 1

	<u>For Epitaxial</u>	<u>For Electronics</u>
Purity (%)	99.99	99.9
Hydrogen (ppm)	300	3,000
Nitrogen	5	50
Oxygen	0.1	1
Argon	10	50
Helium	10	50
Methane	5	50
Ethane	0.1	0.5
Ethylene	0.1	0.5
Propane	0.1	0.5
Propylene	0.1	0.5
Chloride	10	50
Water	3	5

In a practical process of epitaxial growth of a semiconductor, the concentration of oxides and nitrides is lowered to about 1/30 of the nominal value due to the segregation effect which occurs during the gas-solid reaction. Accordingly, a substantially intrinsic semiconductor having a resistivity of 100 Ω·cm or higher can be obtained.

In case of employing plasma enhanced chemical vapor deposition in a temperature range of from 100 to 400 °C using glow discharge, however, a physical purification method taking advantage of the segregation can no longer be expected to take place.

It can be readily understood that in the case above using plasma enhanced chemical vapor deposition, the impurities enumerated in Table 1 are directly incorporated into the semiconductor. Oxygen, in particular, wholly reacts with silane to provide reaction products. A part of silane molecules, more specifically, from 1 to 5 % of the entire molecules, is activated (ionized) by the plasma reaction. Accordingly, it has been found that silane is condensed inside the thin film semiconductor at an extremely high concentration

of from 2×10^{18} to 4×10^{18} cm^{-3} . This accounts for about 20 to 30 times the concentration of silane in gaseous state.

It is therefore found experimentally that it is extremely important to purify the reactive gas in the reaction apparatus before using it in plasma enhanced chemical vapor deposition process.

Thus, more specifically, it is particularly important in the I-type semiconductor layer according to the device of the present invention to decrease the concentration of oxygen and carbon clusters to 5×10^{16} cm^{-3} or lower and to 4×10^{17} cm^{-3} or lower, respectively. The very object of the present invention is to purify the semiconductor.

The present invention is described in detail referring to the accompanying figures.

Fig. 1 shows the scheme of an apparatus for fabricating the semiconductor device according to the present invention.

Referring to Fig. 1, a reactor (1) is equipped with an external heating furnace (21), substrates (22), a pair of electrodes (3), (3), a high frequency generator (2) (for instance, a 13.56MHz or a 100KHz generator), another generator (17) for activating and decomposing the reactive gas, for instance, a 2.45GHz generator or any which produces a microwave 1 GHz or higher in frequency, and an attenuator (18).

The microwave thus generated was supplied from an outlet protected by a ceramic member (19) to the reactor (1) maintained at a pressure of from 0.001 to 10 Torr. The entire reactor is covered with a shield (20) to prevent jamming from occurring. The electric field which develops upon depositing the thin film semiconductor on the substrates (22) using a reactive gas is controlled to be in parallel with the surface of the substrate. Furthermore, the reactive gases are arranged in such a manner that they make a laminar flow in parallel with the surface of the substrates when they are introduced into the reaction furnace.

The reactive gas is introduced from an inlet (7) using a carrier gas, for example, gaseous hydrogen whose concentration of impurities such as oxygen and water is lowered to 1 ppb or less, and preferably, to 0.1 ppb or less. In case of forming a thin silicon film, a gaseous silicide, i.e., silane, is introduced from an inlet (4). At the same time, diborane diluted to a concentration of from 500 to 5,000 ppm using a P-type impurity, hydrogen, as well as phosphine

diluted with hydrogen are introduced from inlets (5) and (6), respectively.

The reactive gases above are introduced into the reactive furnace at a predetermined rate each via pairs of gas purifiers (11) and (14), (12) and (15), and (13) and (16), respectively. Molecular sieves or zeolite 3A, 4A, or 4.5A have an effective pore diameter in a range of from 2.7 to 4.65 Å, and are provided on the inlet side for the reactive gas of each of the gas purifiers. More specifically, molecular sieve or zeolite 4A having an effective pore diameter in a range of from 3.5 to 4.3 Å is used. The molecular sieves or zeolite 4A are expressed by a molecular formula $\text{Na}(\text{AlO}_2)(\text{SiO}_2) \cdot 27 - 30\text{H}_2\text{O}$, and molecular sieves or zeolite 4.5A are expressed by $(\text{K}_4\text{Zn}_4)(\text{AlO}_2)(\text{SiO}_2) \cdot 27 - 30\text{H}_2\text{O}$. Furthermore, the gas passed through the molecular sieves or zeolite is passed through a deoxidizer, gas clean (GC-RX, manufactured by Nikka Seiko K.K.).

The chemical adsorptivity of the purifiers can be further increased by cooling them to a temperature in a range of from -70 °C to room temperature. For instance, the purifiers are cooled to -30 °C using electronic thermostat layers (8), (9), and (10). In case of hydrogen diluted phosphine, molecular sieves or zeolite 3A or 4A are used because the effective molecular diameter thereof are about 4.3 Å. Molecular sieves or zeolite 3A, 4A, and 4.5A are found all effective for silane and diborane.

For silane, molecular sieve or zeolite 4.5A is found particularly effective; in addition to oxygen which is apt to function as an N-type impurity, phosphine reduces the surface content to 0.01 ppb.

Evacuation is carried out using an evacuation system comprising a needle valve (25), a stop valve (24), a vacuum pump (23), and then through an outlet (26). The inner pressure of the reactor is thus maintained in a range of from 0.001 to 10 Torr, representatively, in a range of from 0.05 to 0.1 Torr.

Fig. 2 shows the characteristic curve of a semiconductor layer deposited using the apparatus illustrated in Fig. 1. A 1 μm thick thin film of a non-single crystal semiconductor is deposited on a substrate, e.g., a glass substrate, at a substrate temperature of 250 °C in a reactor the inside pressure of which was maintained at 0.1 Torr. The conductivity upon irradiation of light (AM1) and dark

conductivity in relation with the high frequency output are shown in the graph.

Referring to Fig. 2, the curve (29) shows the change in photoconductivity with that in high frequency output, and the curve (30) shows the dark conductivity. If silane is used as it is without purification, as described in the foregoing, the initial impurities that are present in the gas cylinder are delivered into the semiconductor layer. Those impurities, particularly oxygen or carbon, renders silicon amorphous. Thus, two curves (29) and (30) are shown in Fig. 2. More specifically, a photoconductivity of $10^{-3} (\Omega \cdot \text{cm})^{-1}$ is obtained at a high frequency output of from 20 to 30 W, however, the crystallinity of a part of the semiconductor is impaired at the same time. Thus, the resulting silicon is rendered semi-amorphous. This happens because oxygen atoms that are present as impurities in the semiconductor function as donor centers to impart the entire semiconductor N-type conductivity. Conclusively, an intrinsic semiconductor can be obtained by adding boron or any other impurity which imparts the opposite conductive type to the semiconductor at a concentration of from 1×10^{17} to $3 \times 10^{17} \text{ cm}^{-3}$, or by controlling the high frequency output in a low region of from 1 to 5 W. However, either of means considerably lowers the photoconductivity to the order of from 10^{-5} to $10^{-4} (\Omega \cdot \text{cm})^{-1}$.

Instead of the conventional methods, the present invention employs a highly purified silane. More specifically, the silane gas for use in the present invention is sufficiently purified in gas purifiers (11) and (14) (Fig. 1). Moreover, gaseous silane is charged inside the gas cylinder after sufficiently purifying the gas.

As a result, photoconductivity curve (27) and dark conductivity curve (28) as shown in Fig. 2 are obtained for the thin film silicon according to the present invention.

The figure clearly reads that a high photoconductivity of $10^{-2} (\Omega \cdot \text{cm})^{-1}$ is obtained at low plasma discharge output of from 1 to 10 W, and that a low dark conductivity in a range of from 10^{-9} to $10^{-7} (\Omega \cdot \text{cm})^{-1}$ is obtained. That is, a sufficiently high activation energy as an intrinsic semiconductor is obtained, and that a Fermi level of about a $E_g/2 \pm 0.1-0.2 \text{ eV}$ is achieved.

The characteristics of the thin film silicon are studied in further detail. According to the results of X-ray diffraction, a poorly crystallized thin film is identified on the product obtained at a plasma discharge output of from 5 to

10 W. Assumably, a semi-amorphous semiconductor having an intermediate structure between amorphous structure and crystalline structure is formed in this case.

When an intrinsic semiconductor is fabricated by plasma enhanced chemical vapor deposition in a temperature range of from 100 to 300 °C, for instance, at 250 °C, impurities inside silane tend to be incorporated into the semiconductor at a concentration from 30 to 100 times as high as that of a semiconductor fabricated by a simple CVD process or epitaxial growth. Thus, it can be readily understood that the use of an ultrapure silane as the starting material is the key of the process. By employing such silane gases of ultra-high purity, a semiconductor with a low dark conductivity but with a high photoconductivity in a range of from 10^{-3} to 10^{-2} ($\Omega \cdot \text{cm}$)-1 can be obtained even when the product is obtained at a low plasma power output of from 2 to 10 W. The photoconductivity of the product thus fabricated according to the present invention is well comparable to that of a single crystal silicon, i.e., 10^{-2} ($\Omega \cdot \text{cm}$)-1.

The present invention is particularly advantageous in that the desired semiconductor is producible at such a low plasma power output. More specifically, in fabricating a PIN junction as in the process of the present invention by sequentially depositing the P-, I-, and N-type layers in this order, a mixed layer is apt to form at the boundary of the layers differing in conductive type if a high plasma power output is applied. More specifically, a distinct boundary is preferably formed between the layers differing in conductive type. Thus, if this is attempted by applying a high plasma power output in case of forming an I-type layer on a P-type layer, for instance, the sputtering effect of the discharge damages the P layer.

In case a microwave at a frequency of 2.45 GHz is applied, the deposition rate of the thin film is found to increase to about 3 to 5 times that for the case referring to Fig. 2. The characteristics of the resulting thin film semiconductor are the same, but the deposition rate is increased because the ionization ratio of the reactive gas can be increased by applying power at a higher frequency of 2.45 GHz. More specifically, in case of depositing a thin film by flowing silane at a rate of 30 cc/minute under a pressure of 0.1 Torr, for instance, the deposition rate is as low as 1 to 3 Å/second if a high frequency plasma alone is applied.

However, the deposition rate can be increased to a range of from 10 to 15 Å/second by simply adding the microwave at a frequency of 2.45 GHz.

Fig. 3 is a graph obtained through an experimentation to show how the gas purifier is effective in purifying silane.

Referring to the graph in Fig. 3, the abscissa shows the concentration of oxygen or carbon of the thin film. The concentration is determined by means of FTIR (Fourier Transform Infrared Spectroscopy). The ordinate of the graph shows the electric conductivity in case light is irradiated to the film.

If both a deoxidizer (14) and zeolite (11) are used, curves (45) and (46) are obtained for the resulting product. Curve (45) shows the change in characteristics of the thin film semiconductor containing carbon at a concentration of $3 \times 10^{19} \text{ cm}^{-3}$ while varying the oxygen concentration by applying deoxidation, and curve (46) represents the characteristics which vary in accordance with the change of carbon concentration while setting the oxygen concentration at a constant value of $1 \times 10^{19} \text{ cm}^{-3}$. At any rate, the conductivity is found to be as low as to fall in a range of from 10^{-5} to $10^{-4} (\Omega \cdot \text{cm})^{-1}$ in case carbon and oxygen are incorporated in the thin film at a concentration of 10^{18} cm^{-3} and $3 \times 10^{19} \text{ cm}^{-3}$, respectively. It can be seen that the presence of oxygen atoms in the film considerably lowers the conductivity.

Further referring to Fig. 3, the curves (41) and (42) are drawn using the carbon concentration and the oxygen concentration as the parameters, respectively. More specifically, the former and the latter curves are for the cases in which oxygen and carbon are incorporated at a concentration of $3 \times 10^{15} \text{ cm}^{-3}$ and $4 \times 10^{16} \text{ cm}^{-3}$, respectively. A semiconductor having a photoconductivity in the order of $10^{-2} \text{ cm}^{-3} (\Omega \cdot \text{cm})^{-1}$ can be expected by controlling the concentration of oxygen and carbon to $5 \times 10^{16} \text{ cm}^{-3}$ or lower (43) and $4 \times 10^{17} \text{ cm}^{-3}$ or lower (44), respectively. The conductivity is found to decrease by approximately one third every time the substrate temperature is lowered by 50°C ; more specifically, from 250°C to 200°C , and further to 150°C .

To control the concentration of oxygen and carbon in the aforementioned values, it is particularly important to control the oxygen concentration in the starting silane to 0.03 ppm or lower. The oxygen concentration in silane can be further decreased to 0.01 ppm, and even to a level of 0.003 ppm by purifying silane in a temperature range of from -30°C

to 0 °C. By setting the temperature of silane in the lower region above, the content of hydrocarbon C_mH_n impurities can be reduced to 0.1 ppm, and furthermore to 0.01 ppm. The concentration of the impurities can be even more decreased to below the detection limit of a mass spectrometer by lowering the purification temperature to -100 °C. The concentration of oxygen and carbon can be increased respectively to $1 \times 10^{18} \text{ cm}^{-3}$ or higher; i.e., a concentration well beyond the detection limit of an FTIR.

Such a high level of purification can be realized by controlling the total leak of the reaction system shown in Fig. 1 to $1 \times 10^{-10} \text{ cc/sec}$ or lower, and preferably, to $1 \times 10^{-12} \text{ cc/sec}$ or lower. Accordingly, the mechanism of the joints and the like in the system is also a key factor in achieving a high purity gaseous silane.

Referring to Fig. 4, a structure fabricated by using the fabrication apparatus in Fig. 1 is described. Referring to Fig. 4 (A), a transparent conductive film (33) is formed on a glass substrate (32), and a P-type silicon carbide ($\text{Si}_x\text{C}_{1-x}$; $0 < x < 1$, e.g., $x = 0.8$) or a P-type silicon semiconductor (34) is formed further thereon at a thickness of 100 Å. The entire system is then sufficiently evacuated using a cryo pump (45), and a purified silane is introduced therein to form an intrinsic semiconductor layer (31) to a thickness of 0.5 μm. After evacuating the entire system again, a 200 Å thick N-type semiconductor layer (31) is further deposited thereon using silane containing 1 % phosphine. Finally, aluminum film (36) is vacuum deposited in a known manner.

The high frequency power output in the process above is controlled to 5 W while maintaining the substrate temperature of 200 °C. A conversion efficiency of 10.3 % is obtained.

The characteristics of the glass substrate can be further ameliorated by fabricating a photoelectric conversion device of a PIN junction type as illustrated in Fig. 4 (B).

Referring to Fig. 4 (B), a 200 Å thick P-type semiconductor layer (34), a 0.5 μm thick I-type semiconductor layer (33), and a 150 Å thick fibrous structured N-type semiconductor polycrystalline semiconductor layer (35) are deposited on a stainless steel substrate (32) using the apparatus as shown in Fig. 1. An ITO (indium tin oxide) film is vacuum deposited thereafter as a transparent conductive film (43). An

aluminum auxiliary electrode (36) is provided thereon to obtain the final structure.

For the structure thus implemented and illustrated in Fig. 4 (B), the characteristic curve for the conversion efficiency taking the oxygen concentration in the intrinsic semiconductor layer as the parameter is given in Fig. 5.

A conversion efficiency higher than 12 % is achieved under AM1 for an area of 1 cm² by controlling the oxygen concentration to 4×10^{16} cm⁻³ or lower, and particularly, to 1×10^{16} cm⁻³ or lower. Furthermore, a curve factor exceeding 0.7 is obtained. In case of short circuit current, especially, a maximum value of 20 mA/cm² is achieved. The open voltage is in a range of from 0.86 to 0.93 V. A considerable improvement in the characteristics is observed by lowering the oxygen concentration and thereby purifying silicon.

In case of the example above with reference to Fig. 4 (B), the device is fabricated at a low temperature in a range of from 200 to 250 °C by using a polycrystalline fiber-structured semiconductor as the N-type semiconductor layer. For detail of the process, reference can be made to Patent Application No. 57-087801 (filed on May 24, 1982 by the present inventor).

The present invention has been described in detail above by specifically referring to a photoelectric conversion device having a PIN junction. However, the device according to the present invention may have at least two junctions by sequentially forming the layers in the order of PINPIN....PIN. This is an important application of the present invention. Moreover, the resulting structure may be integrated on a substrate.

The description of the present invention above refers specifically to a case using silane, and particularly, monosilane, as the gaseous silicide. However, the present invention is also effective for a case using polysilane such as disilane, so long as the effective diameter is large enough to be separated by a molecular sieve. Accordingly, the present invention is useful in case SiF₄ is used, because the diameter of SiF₄ molecules is as large as 5 Å. In case of germanium, a non-single crystal semiconductor Si_xGe_{1-x} (0 < x < 1) fabricated by using germane (GeH₄) or pure Ge alone may be used for the I-type semiconductor layer of a PIN junction.

In the description above, a photoelectric conversion device comprising a single PIN junction is described. However,

the present invention is also effective for an insulated gate field effect semiconductor device having an NIN junction (i.e., a junction comprising, in this order, a source or drain, a channel forming region, and a source or drain) or a PIP junction, as well as for a transistor having an NIPIN or a PINIP junction.

4. Brief Description of the Drawings

Fig. 1 is a scheme of a plasma enhanced chemical vapor reactor for use in the fabrication of a semiconductor device according to the present invention.

Fig. 2 is a graph showing the electric characteristics of a semiconductor obtained according to the present invention and that of a conventional intrinsic semiconductor.

Fig. 3 is a graph showing the change of electric characteristics of a semiconductor obtained according to the gas purification method of the present invention.

Fig. 4 is a photoelectric conversion device according to the present invention.

Fig. 5 is a graph showing the characteristics of a photoelectric conversion device according to a scheme shown in Fig. 4 (B).

Applicant for the Patent :

Semiconductor Energy Laboratory Co., Ltd.

Representative : Shunpei Yamazaki

6. CONTENTS OF AMENDMENTS

(1) Amend the entire specification as shown in an attachment.

(2) Amend Fig. 1 to incorporate reference numerals thereinto as shown in an attachment (written in red in a copy).

Amend Figs. 2, 3 and 5 as shown in an attachment.

Add Figs. 6 and 7 as shown in an attachment.

SPECIFICATION

1. Title of the Invention

SEMICONDUCTOR DEVICE

2. Scope of Patent Claim

1. A semiconductor device including a substrate or a first electrode formed on the substrate, a non-single crystal semiconductor having at least one p-i-n junction on said electrode, and a second electrode on said semiconductor, characterized in that an intrinsic or substantially intrinsic semiconductor layer constituting said p-i-n junction contains at least oxygen having the impurity density of $5 \times 10^{16} \text{ cm}^{-3}$ or less or carbon mixed in the form of a cluster having the impurity density of $4 \times 10^{18} \text{ cm}^{-3}$ or less.

2. A semiconductor device as claimed in claim 1, wherein said intrinsic or substantially intrinsic semiconductor layer comprises a semiconductor which mainly contains silicon or germanium to which hydrogen or halogen element having a half-amorphous or amorphous structure with lattice distortion.

3. Detailed Description of the Invention

The present invention relates to a photoelectric conversion device having at least one PIN junction, said device fabricated by using a high purity gas for semiconductor fabrication whose concentration of carbon or oxygen is decreased to an extremely low level, and to a process for fabricating the same.

An object of the present invention is to provide a photoelectric conversion device comprising a substrate, optionally having thereon a first electrode, and a non-single crystal semiconductor layer having at least a PIN junction fabricated by depositing layers of a P-type, an I-type, and an N-type semiconductor. In an intrinsic or a substantially intrinsic semiconductor layer (i.e., a semiconductor layer into which a P-type or an N-type impurity is added either

5 accidentally or intentionally at a concentration of from 1×10^{14} to $5 \times 10^{17} \text{ cm}^{-3}$) which generates photovoltaic force upon irradiation of light in the photoelectric conversion device according to the present invention, it is an object to decrease the concentration of oxygen or carbon which induces the generation of recombination centers or which enhances the insulating characteristics to a super low level.

10 The object above is accomplished in the present invention by taking advantage of the molecular size of the reactive gas that is used in the device fabrication, for example, a gaseous silicide such as silane, polysilane, and silicon fluoride, or a gaseous germanium compound such as germane. More specifically, the reactive gases above have an effective molecular diameter of 4.8 Å or larger.

Accordingly, impurities having an effective molecular diameter (referred to simply hereinafter as "molecular diameter") of 4.5 Å or less, for instance, a gaseous oxide such as water (H_2O), gaseous carbon dioxide (CO_2), and gaseous oxygen (O_2); or a gaseous carbide such as methane (CH_4), ethane (C_2H_6), propane (C_3H_8), CH_3OH , and C_6H_6 ; can be adsorbed and separated from the reactive gas using a molecular sieve or a zeolite having an effective pore diameter in the range of from 2.9 to 4.65 Å.

25 The adsorption ability of the molecular sieve or the zeolite can be further enhanced to 50 times or more of its ordinary ability by cooling the adsorbent to a temperature in a range of from -100°C to room temperature, preferably, in a range of from -70°C to -20°C .

In this manner, the initial intrinsic conversion efficiency of 6 to 8 % under an AM1 condition (100 mW/cm^2) of a non-single crystal semiconductor, particularly, of an amorphous semiconductor, can be increased to a range of from 11 to 14.5 %.

35 Particularly in the I-type layer, i.e., the active semiconductor layer, the concentration of oxygen is lowered from the conventional level in a range of from $2 \times 10^{20} \text{ cm}^{-3}$ to $4 \times 10^{20} \text{ cm}^{-3}$ to a range not higher than $5 \times 10^{18} \text{ cm}^{-3}$, preferably to a range of from 1×10^{18} to $1 \times 10^{14} \text{ cm}^{-3}$, and further lowering the concentration of carbon clusters to a level of $4 \times 10^{18} \text{ cm}^{-3}$ or lower, preferably, to a range of from 1×10^{18} to $1 \times 10^{14} \text{ cm}^{-3}$. Carbon clusters as referred herein signifies cluster-like carbon atoms that are combined by a plurality of C-C bonds inside the semiconductor. In this

manner, the density of recombination centers inside a semiconductor, for example, a silicon semiconductor, is successfully lowered from the initial $1 \times 10^{18} \text{ cm}^{-3}$ to $1 \times 10^{17} \text{ cm}^{-3}$ or lower, and preferably, to a range of from 5×10^{14} to $1 \times 10^{16} \text{ cm}^{-3}$.

5 Conventionally, inside a semiconductor, specifically a silicon semiconductor, oxygen atoms have been believed to locally form Si-O-Si bonds to impart insulating properties to the semiconductor. However, in case oxygen atoms aggregate into a cluster containing from several to several tens of
10 atoms inside the semiconductor, the clusters then provide recombination centers for the electrons or holes. These recombination centers function as killers of the minority carriers which generate upon the irradiation of a light. It has been confirmed that this clearly occurs in a non-single crystal semiconductor fabricated by a plasma enhanced chemical vapor deposition process. Furthermore, the dangling bonds of oxygen have found to function as N-type donor centers. Thus, it has been found that a semi-amorphous (semi-crystalline) structure-sensitive non-single crystal semiconductor having
20 lattice strain is readily rendered N type-conductive.

Accordingly, it is believed particularly important from an industrial point of view to fabricate a structure-sensitive intrinsic semiconductor from which oxygen atoms are substantially removed. The oxygen atoms are preferably present
25 at a concentration as low as possible, because they provide the donor centers. Intrinsic semiconductors as referred herein signify those having a Fermi level at approximately the center of the band width.

30 Considering carbon atoms, furthermore, ethane and other hydrocarbon compounds expressed by C_mH_n (where, $m \geq 2$) have found to directly intrude into the semiconductor to generate a plurality of recombination centers. These recombination centers decrease the life time of carriers, and particularly, that of the holes.

35 In the light of the aforementioned circumstances, the semiconductor device according to the present invention is characterized in that impurities are removed from the silicon semiconductor. The device according to the present invention is also characterized in that said semiconductor comprises
40 silicon added therein hydrogen or oxygen atoms as the principal components, because hydrogen and oxygen atoms function to neutralize the recombination centers, and that a trivalent or pentavalent impurity is added at a concentration

of from 10^{14} to $3 \times 10^{17} \text{ cm}^{-3}$ to shift the Fermi level of the resulting semiconductor.

In general, silane molecules are less than 5 Å (more specifically, from 4.8 to 5 Å) in effective molecular diameter. Germane molecules are about 6 Å in diameter. (Polysilane are further larger in effective molecular diameter.)

Considering a reactive gas comprising molecules having the smallest effective molecular diameter, i.e., silane (monosilane) molecules, for instance, the gas contains other impurities as listed in Table 1.

Table 1

	<u>For Epitaxial</u>	<u>For Electronics</u>
Purity (%)	99.99	99.9
Hydrogen (ppm)	300	3,000
Nitrogen	5	50
Oxygen	0.1	1
Argon	10	50
Helium	10	50
Methane	5	50
Ethane	0.1	0.5
Ethylene	0.1	0.5
Propane	0.1	0.5
Propylene	0.1	0.5
Chloride	10	50
Water	3	5

In a practical process of epitaxial growth of a semiconductor, the concentration of oxides and nitrides is lowered to about 1/30 of the nominal value due to the segregation effect which occurs during the gas-solid reaction. Accordingly, a substantially intrinsic semiconductor having a resistivity of $100 \Omega \cdot \text{cm}$ or higher can be obtained.

In case of employing plasma enhanced chemical vapor deposition in a temperature range of from 100 to 400 °C using glow discharge, however, a physical purification method taking advantage of the segregation can no longer be expected to take place.

It can be readily understood that in the case above using plasma enhanced chemical vapor deposition, the impurities enumerated in Table 1 are directly incorporated into the semiconductor. Oxygen, in particular, wholly reacts with silane to provide reaction products. A part of silane molecules, more specifically, from 1 to 5 % of the entire molecules, is activated (ionized) by the plasma reaction.

Accordingly, it has been found that silane is condensed inside the thin film semiconductor at an extremely high concentration of from 2×10^{18} to $4 \times 10^{20} \text{ cm}^{-3}$. This accounts for about 20 to 30 times the concentration of silane in gaseous state.

It is therefore found experimentally that it is extremely important to purify the reactive gas in the reaction apparatus before using it in plasma enhanced chemical vapor deposition process.

Thus, more specifically, it is particularly important in the I-type semiconductor layer according to the device of the present invention to decrease the concentration of oxygen and carbon clusters to $5 \times 10^{18} \text{ cm}^{-3}$ or lower and to $4 \times 10^{18} \text{ cm}^{-3}$ or lower, respectively. The very object of the present invention is to purify the semiconductor.

The present invention is described in detail referring to the accompanying figures.

Fig. 1 shows the scheme of an apparatus for fabricating the semiconductor device according to the present invention.

Referring to Fig. 1, a reactor (1) (diameter of 35 mm \varnothing) is equipped with an external heating furnace (21), substrates (22), a pair of electrodes (3), (3), a high frequency generator (2) (for instance, a 13.56MHz or a 100KHz generator), another generator (17) for activating and decomposing the reactive gas, for instance, a 2.45GHz generator or any which produces a microwave 1 GHz or higher in frequency, and an attenuator (18).

The microwave thus generated was supplied from an outlet protected by a ceramic member (19) to the reactor (1) maintained at a pressure of from 0.001 to 10 Torr. The entire reactor is covered with a shield (20) to prevent jamming from occurring. The electric field which develops upon depositing the thin film semiconductor on the substrates (22) using a reactive gas is controlled to be in parallel with the surface of the substrate. Furthermore, the reactive gases are arranged in such a manner that they make a laminar flow in parallel with the surface of the substrates when they are introduced into the reaction furnace.

The reactive gas is introduced from an inlet (7) using a carrier gas, for example, gaseous hydrogen whose concentration of impurities such as oxygen and water is lowered to 1 ppb or less, and preferably, to 0.1 ppb or less. In case of forming a thin silicon film, a gaseous silicide, i.e., silane, is introduced from an inlet (4). At the same

time, diborane diluted to a concentration of from 500 to 5,000 ppm using a P-type impurity, hydrogen, as well as phosphine diluted with hydrogen are introduced from inlets (5) and (6), respectively.

5 The reactive gases above are introduced into the reactive furnace at a predetermined rate each via pairs of gas purifiers (11), (14), (12), (15), (13), (16), respectively. Molecular sieves or zeolite 3A, 4A, or 4.5A have an effective pore diameter in a range of from 2.7 to 4.65 Å, and are
10 provided on the inlet side for the reactive gas of each of the gas purifiers. More specifically, molecular sieve or zeolite 4A having an effective pore diameter in a range of from 3.5 to 4.3 Å is used. The molecular sieves or zeolite 4A are expressed by a molecular formula $\text{Na}(\text{AlO}_2)(\text{SiO}_2) \cdot 27 - 30\text{H}_2\text{O}$, and molecular sieves or zeolite 4.5A are expressed by $(\text{K}_4\text{Zn}_4)(\text{AlO}_2)(\text{SiO}_2) \cdot 27 - 30\text{H}_2\text{O}$. Thereafter, a gas clean for film oxygen (product name GC-RX) was coupled therewith. They are all made by Nikka Seiko K.K..

20 The chemical adsorptivity of the purifiers can be further increased by cooling them to a temperature in a range of from -70 °C to room temperature. For instance, the purifiers are cooled to -30 °C using electronic thermostat layers (8), (9), and (10). In case of hydrogen diluted phosphine, molecular sieves or zeolite 3A or 4A are used
25 because the effective molecular diameter thereof are about 4.3 Å. Molecular sieves or zeolite 3A, 4A, and 4.5A are found all effective for silane and diborane.

In particular, it was effective that 4.5A is used for silane because of lowering the concentration of phosphine to 0.01 ppb or less except for oxygen which is an impurity that is liable to be made n-type in silane.

35 Evacuation is carried out using an evacuation system comprising a needle valve (25), a stop valve (24), a vacuum pump (23), and then through an outlet (26). The inner pressure of the reactor is thus maintained in a range of from 0.001 to 10 Torr, representatively, in a range of from 0.05 to 0.1 Torr.

40 Fig. 2 shows the characteristic curve of a semiconductor layer deposited using the apparatus illustrated in Fig. 1. A 1 μm thick thin film of a non-single crystal semiconductor is deposited on a substrate, e.g., a glass substrate, at a substrate temperature of 250 °C in a reactor the inside pressure of which was maintained at 0.1 Torr. The

conductivity upon irradiation of light (AM1) and dark conductivity in relation with the high frequency output are shown in the graph.

Referring to Fig. 2, the curve (29) shows the change in photoconductivity with that in high frequency output, and the curve (30) shows the dark conductivity. If silane is used as it is without purification, as described in the foregoing, the initial impurities that are present in the gas cylinder are delivered into the semiconductor layer. Those impurities, particularly oxygen or carbon, renders silicon amorphous. Thus, two curves (29) and (30) are shown in Fig. 2. More specifically, a photoconductivity of $10^{-3} (\Omega \cdot \text{cm})^{-1}$ is obtained at a high frequency output of from 20 to 30 W, however, the crystallinity of a part of the semiconductor is impaired at the same time. Thus, the resulting silicon is rendered semi-amorphous. This happens because oxygen atoms that are present as impurities in the semiconductor function as donor centers to impart the entire semiconductor N-type conductivity. Conclusively, an intrinsic semiconductor can be obtained by adding boron or any other impurity which imparts the opposite conductive type to the semiconductor at a concentration of from 1×10^{17} to $3 \times 10^{17} \text{ cm}^{-3}$, or by controlling the high frequency output in a low region of from 1 to 5 W. However, either of means considerably lowers the photoconductivity to the order of from 10^{-6} to $10^{-5} (\Omega \cdot \text{cm})^{-1}$.

Not in the above-mentioned conventional method, but in the present invention, the impurities, in particular, oxygen, water or hydrocarbon within silane are sufficiently removed after purification (11 and 14 in Fig. 1), and when the gas cylinder is to be filled with silane, filling is conducted with high purification.

As a result, photoconductivity curve (27) and dark conductivity curve (28) as shown in Fig. 2 are obtained for the thin film silicon according to the present invention.

The figure clearly reads that a high photoconductivity of $10^{-4} (\Omega \cdot \text{cm})^{-1}$ is obtained at low plasma discharge output of from 1 to 10 W, and that a low dark conductivity in a range of from 10^{-11} to $10^{-10} (\Omega \cdot \text{cm})^{-1}$ is obtained. That is, a sufficiently high activation energy as an intrinsic semiconductor is obtained, and that a Fermi level of about a $E_g/2 \pm 0.1-0.2 \text{ eV}$ is achieved.

The characteristics of the thin film silicon are studied in further detail. According to the results of X-ray diffraction, a poorly crystallized thin film is identified on

the product obtained at a plasma discharge output of from 5 to 10 W. Assumably, a semi-amorphous semiconductor having an intermediate structure between amorphous structure and crystalline structure is formed in this case.

5 When an intrinsic semiconductor is fabricated by plasma enhanced chemical vapor deposition in a temperature range of from 100 to 300 °C, for instance, at 250 °C, impurities inside silane tend to be incorporated into the semiconductor at a concentration from 30 to 100 times as high
10 as that of a semiconductor fabricated by a simple CVD process or epitaxial growth. Thus, it can be readily understood that the use of an ultrapure silane as the starting material is the key of the process. By employing such silane gases of ultra-high purity, a semiconductor with a low dark conductivity but with a high photoconductivity in a range of from 10^{-3} to 10^{-2} ($\Omega \cdot \text{cm}$) $^{-1}$ can be obtained even when the product is obtained at a low plasma power output of from 2 to 10 W. The photoconductivity of the product thus fabricated according to the present invention is well comparable to that of a single
20 crystal silicon, i.e., 10^{-2} ($\Omega \cdot \text{cm}$) $^{-1}$.

The present invention is particularly advantageous in that the desired semiconductor is producible at such a low plasma power output. More specifically, in fabricating a PIN
25 junction as in the process of the present invention by sequentially depositing the P-, I-, and N-type layers in this order, a mixed layer is apt to form at the boundary of the layers differing in conductive type if a high plasma power output is applied. More specifically, a distinct boundary is preferably formed between the layers differing in conductive type. Thus, if this is attempted by applying a high plasma
30 power output in case of forming an I-type layer on a P-type layer, for instance, the sputtering effect of the discharge damages the P layer.

35 In case a microwave at a frequency of 2.45 GHz is applied, the deposition rate of the thin film is found to increase to about 3 to 5 times that for the case referring to Fig. 2. The characteristics of the resulting thin film semiconductor are the same, but the deposition rate is increased because the ionization ratio of the reactive gas can
40 be increased by applying power at a higher frequency of 2.45 GHz. More specifically, in case of depositing a thin film by flowing silane at a rate of 30 cc/minute under a pressure of 0.1 Torr, for instance, the deposition rate is as low as 1 to

3 Å/second if a high frequency plasma alone is applied. However, the deposition rate can be increased to a range of from 10 to 15 Å/second by simply adding the microwave at a frequency of 2.45 GHz.

Fig. 3 is a graph obtained through an experimentation to show how the gas purifier is effective in purifying silane.

Referring to the graph in Fig. 3, the abscissa shows the concentration of oxygen or carbon of the thin film. The concentration is determined by means of FTIR (Fourier Transform Infrared Spectroscopy). The ordinate of the graph shows the electric conductivity in case light is irradiated to the film.

In addition, the impurity concentration of $1 \times 10^{19} \text{ cm}^{-3}$ or less was measured by use of SIMS (3F type made CAMECA Corp.) for investigation. The correction of the absolute amount was conducted on the basis of ion intensity obtained by adding a specific amount (for example, $1 \times 10^{18} \text{ cm}^{-3}$) of injection to amorphous silicon by the ion implantation and measuring the added amount through the SIMS.

If both a deoxidizer (14) and zeolite (11) are used, curves (45) and (46) are obtained for the resulting product. Curve (45) shows the change in characteristics of the thin film semiconductor containing carbon at a concentration of $3 \times 10^{20} \text{ cm}^{-3}$ while varying the oxygen concentration by applying deoxidation, and curve (46) represents the characteristics which vary in accordance with the change of carbon concentration while setting the oxygen concentration at a constant value of $1 \times 10^{20} \text{ cm}^{-3}$. At any rate, the conductivity is found to be as low as to fall in a range of from 10^{-5} to $10^{-6} (\Omega \cdot \text{cm})^{-1}$ in case carbon and oxygen are incorporated in the thin film at a concentration of 10^{20} cm^{-3} and $3 \times 10^{20} \text{ cm}^{-3}$, respectively. It can be seen that the presence of oxygen atoms in the film considerably lowers the conductivity.

Further referring to Fig. 3, the curves (41) and (42) are drawn using the carbon concentration and the oxygen concentration as the parameters, respectively. More specifically, the former and the latter curves are for the cases in which oxygen and carbon are incorporated at a concentration of $3 \times 10^{17} \text{ cm}^{-3}$ and $4 \times 10^{18} \text{ cm}^{-3}$, respectively. The photoelectric conductivity having the order of $10^{-3} (\Omega \cdot \text{cm})^{-1}$ and the dark conductivity having the order of $10^{-10} (\Omega \cdot \text{cm})^{-1}$ can be expected by controlling the concentration of oxygen to $5 \times 10^{18} \text{ cm}^{-3}$ or lower (43). The conductivity is found to decrease by approximately one third every time the substrate

temperature is lowered by 50 °C; more specifically, from 250 °C to 200 °C, and further to 150 °C.

For obtaining the oxygen and carbon densities, it is very important to contain oxygen (water) of 0.03 PPM or less within silane. In particular, when purification was made not at room temperature but at 0 to -30 °C, the impurity concentration of oxygen can be lowered to 0.01 PPM and 0.003 PPM. Also, the evacuate system is of a cryopump type so that the remaining water within the reactor is set to 0.1 PPM or less (arrival vacuum degree of 10^{-8} torr or less), thereby preventing inverse diffusion.

As a result, C_{mHn} could be lowered to 0.1 PPM or less. Further, when using silane which was subjected to physical purification of liquefaction and gasification, measurement cannot be entirely performed through a mass analyzer. Also, the concentration of oxygen and hydrogen within the semiconductor formed are 5×10^{18} and $4 \times 10^{17} \text{ cm}^{-3}$ or less, respectively, and could exceed the detection limit for SIMS.

Of course, for obtaining the above-mentioned high purity, it is important to set the entire amount of leakage including the reactive furnace to 1×10^{-10} cc/sec or less, preferably 1×10^{-12} cc/sec or less. It is mentioned that a contrivance of a joint or the like is also important.

Referring to Fig. 4, a structure fabricated by using the fabrication apparatus in Fig. 1 is described. Referring to Fig. 4 (A), a transparent conductive film (33) is formed on a glass substrate (32), and a P-type silicon carbide ($\text{Si}_x\text{C}_{1-x}$; $0 < x < 1$, e.g., $x = 0.8$) or a P-type silicon semiconductor (34) is formed further thereon at a thickness of 100 Å. The entire system is then sufficiently evacuated using a cryo pump (45), and a purified silane is introduced therein to form an intrinsic semiconductor layer (31) to a thickness of 0.5 μm . After evacuating the entire system again, a 200 Å thick N-type semiconductor layer (31) is further deposited thereon using silane containing 1 % phosphine. Finally, aluminum film (36) is vacuum deposited in a known manner.

The high frequency power output in the process above is controlled to 5 W while maintaining the substrate temperature of 200 °C. A conversion efficiency of 10.3 % is obtained.

The characteristics of the glass substrate can be further ameliorated by fabricating a photoelectric conversion device of a PIN junction type as illustrated in Fig. 4 (B).

Referring to Fig. 4 (B), a 200 Å thick P-type semiconductor layer (34), a 0.5 μm thick I-type semiconductor layer (33), and a 150 Å thick fibrous structured N-type semiconductor polycrystalline semiconductor layer (35) are deposited on a stainless steel substrate (32) using the apparatus as shown in Fig. 1. An ITO (indium tin oxide) containing from 10 % or less of tin oxide) film is vacuum deposited thereafter as a transparent conductive film (43). An aluminum auxiliary electrode (36) is provided thereon to obtain the final structure.

For the structure thus implemented and illustrated in Fig. 4 (B), the characteristic curve for the conversion efficiency taking the oxygen concentration in the intrinsic semiconductor layer as the parameter is given in Fig. 5.

A conversion efficiency(49) higher than 12 % is achieved under AM1 for an area of 1 cm² by controlling the oxygen concentration to 5×10^{18} cm⁻³ or lower, and particularly, to 1×10^{18} cm⁻³ or lower. Furthermore, a curve factor(48) exceeding 0.7 is obtained. In case of short circuit current(47), especially, a maximum value of 20 mA/cm² is achieved. The open voltage is in a range of from 0.86 to 0.93 V. A considerable improvement in the characteristics is observed by lowering the oxygen concentration and thereby purifying silicon.

In case of the example above with reference to Fig. 4 (B), the device is fabricated at a low temperature in a range of from 200 to 250 °C by using a polycrystalline fiber-structured semiconductor as the N-type semiconductor layer. For detail of the process, reference can be made to Patent Application No. 57-087801 (filed on May 24, 1982 by the present inventor).

Figs. 6 and 7 are graphs showing the evaluation of very important reliability characteristic when considering the reliability of the photoelectric conversion device.

The figures show a curve (50) in which the photon number to be added to a sample when measuring the constant energy spectral characteristic is set to 1×10^{15} /cm². The axis of ordinate represents the normalization quantum efficiency (efficiency) with a maximum point of "1". The light of AM1 (100 mW/cm²) is irradiated to that device for two hours. Thereafter, the photosensitive characteristic is changed as indicated by a curve (51), and it has been found that the characteristic is largely deteriorated and lowered by light of 350 to 500 nm. When it was subject d to heat

annealing process at 150 °C for two hours, the curve (51) changed to a curve (52). As a result, the characteristic exhibits that the curve is restored to the curve (50) at a short-wavelength light having 350 to 500 nm, but is not restored at a long-wavelength light having 600 to 800 nm. Therefore, a device was demanded which has the characteristic that is not deteriorated by the light irradiation and heat annealing process, that is, which is high in reliability without the Steabler Wronski effect.

Fig. 7 illustrates the characteristic of the photoelectric conversion device in the case where the average oxygen concentration within the I-type semiconductor is $5 \times 10^{18} \text{ cm}^{-3}$.

When light irradiation (AM1) was conducted for two hours in correspondence with the curve (50) shown in Fig. 6, a curve (51) was obtained with the characteristic being slightly improved. When further conducting heat annealing process, the curve (52) was only slightly changed.

As a result, it has been found that the concentration of oxygen as the impurity within the I-type semiconductor layer is very important to stabilization of the characteristic (prevention of deterioration). In addition, it has been found that the deterioration is remarkably reduced when the concentration of oxygen is at least $5 \times 10^{18} \text{ cm}^{-3}$. Further, as to the light irradiation effect (Stea b l e r W r o n s k i effect), higher reliability could be obtained by further reducing the concentration of oxygen. Moreover, as is apparent from Fig. 5, the conversion efficient (curve (49)) is improved. This enables the photoelectric transfer device to be produced. The device in which the center of recombination due to the dangling bond of oxygen in the I-type semiconductor layer is reduced, the diffusion length of holes is extended, and the width of a depletion is only 0.1μ with the oxygen concentration of $1 \times 10^{20} \text{ cm}^{-3}$, becomes 0.4μ or more at the time of $5 \times 10^{18} \text{ cm}^{-3}$ or less. Most preferably, in the case of dividing it wholly over the thickness thereof, the device does not exhibit the deterioration at all.

As described above, according to the present invention, it has been found that the conversion efficient as the photoelectric conversion device is more improved as the density of oxygen or carbon, in particular, oxygen as the impurity is reduced, and also that the reliability is improved. Further, it has been found that the practical

oxygen impurity is $5 \times 10^{18} \text{ cm}^{-3}$ or less, more preferably $1 \times 10^{18} \text{ cm}^{-3}$ or less.

The present invention has been described in detail above by specifically referring to a photoelectric conversion device having a PIN junction. However, the device according to the present invention may have at least two junctions by sequentially forming the layers in the order of PINPIN....PIN. This is an important application of the present invention. Moreover, the resulting structure may be integrated on a substrate.

The description of the present invention above refers specifically to a case using silane, and particularly, monosilane, as the gaseous silicide. However, the present invention is also effective for a case using polysilane such as disilane, so long as the effective diameter is large enough to be separated by a molecular sieve. Accordingly, the present invention is useful in case SiF_4 is used, because the diameter of SiF_4 molecules is as large as 5 Å. In case of germanium, a non-single crystal semiconductor $\text{Si}_x\text{Ge}_{1-x}$ ($0 < x < 1$) fabricated by using germane (GeH_4) or pure Ge alone may be used for the I-type semiconductor layer of a PIN junction.

In the description above, a photoelectric conversion device comprising a single PIN junction is described. However, the present invention is also effective for an insulated gate field effect semiconductor device having an NIN junction (i.e., a junction comprising, in this order, a source or drain, a channel forming region, and a source or drain) or a PIP junction, as well as for a transistor having an NIPIN or a PINIP junction.

4. Brief Description of the Drawings

Fig. 1 is a scheme of a plasma enhanced chemical vapor reactor for use in the fabrication of a semiconductor device according to the present invention.

Fig. 2 is a graph showing the electric characteristics of a semiconductor obtained according to the present invention and that of a conventional intrinsic semiconductor.

Fig. 3 is a graph showing the change of electric characteristics of a semiconductor obtained according to the gas purification method of the present invention.

Fig. 4 is a photoelectric conversion device according to the present invention.

Fig. 5 is a graph showing the characteristics of a photoelectric conversion device according to a scheme shown in Fig. 4 (B).

5 Fig. 6 shows the constant energy spectral characteristic according to the conventional photoelectric conversion device.

Fig. 7 shows the constant energy spectral characteristic according to the photoelectric conversion device of the present invention.

10

Applicant for the Patent :

Semiconductor Energy Laboratory Co., Ltd.

Representative : Shunpei Yamazaki

⑬ 日本国特許庁 (JP)

⑭ 特許出願公開

⑯ 公開特許公報 (A)

昭59-35488

⑰ Int. Cl.³
H 01 L 31/10

識別記号

庁内整理番号
7021-5F

⑱ 公開 昭和59年(1984)2月27日

発明の数 1
審査請求 有

(全 15 頁)

⑳ 半導体装置

番21号株式会社半導体エネルギー
一研究所内

㉑ 特 願 昭57-146561

㉒ 出 願 人 株式会社半導体エネルギー研究
所

㉓ 出 願 昭57(1982)8月24日

㉔ 発 明 者 山崎舜平

東京都世田谷区北烏山7丁目21
番21号

東京都世田谷区北烏山7丁目21
番21号

明 細 書

1. 発明の名称

半導体装置

2. 特許請求の範囲

1. 基板または基板上の第1の電極と、該電極上にPIN接合を少なくとも1つ有する非単結晶半導体と、該半導体上の第2の電極とが設けられた半導体装置において、前記PIN接合を構成する真性または実質的に真性の半導体層は、少なくとも酸素を 5×10^{16} cm⁻³以下の不純物濃度またはクラスター状に混入した炭素が 4×10^{17} cm⁻³以下の不純物濃度を含むことを特徴とする半導体装置。

2. 特許請求の範囲第1項において、真性または実質的に真性の半導体は、電子を有する半導体または非晶質構造を有する本素またはヘロゲン元素が添加された元素またはゲルマニウムよりなることを特徴とする半導体装置。

3. 特許請求の範囲第1項において、P型半導体層またはN型半導体層は、酸素が 5×10^{16} cm⁻³以下の濃度に添加されたことを特徴とする半導体装置。

4. 特許請求の範囲第1項において、PまたはN型半導体層は30~150Åの粒径を有するマイクロクリスタルまたは150~400Åの結晶粒径を有する繊維構造を有する多結晶半導体を用いられたことを特徴とする半導体装置。

3. 発明の詳細な説明

本発明は、酸素または炭素低濃度にした超高純度の半導体製造用気体を用いて、PIN接合を少なくとも1つ有する光電変換装置およびその作製方法に関する。

本発明は、基板または基板上の第1の電極と、該電極上にPIN接合を少なくとも1つ有する非

単結晶半導体層を、P型半導体層、I型半導体層およびN型半導体層を積層することにより設けた光電変換装置において、特に光照射により光起電力を発生する活性半導体層である真性または実質的に真性（PまたはN型用不純物が $1 \times 10^7 \sim 5 \times 10^7 \text{ cm}^{-3}$ の濃度で人為的またはバックグラウンドレベルで混入した）半導体に対し、特に絶縁性の助長または再結合中心の発生をもたらす炭素または炭素を低濃度にするを目的としている。

本発明は、かかる目的のため、半導体用の反応性気体例えば珪化合物気体であるシラン、ポリシラン、フッ化珪素、またゲルマニウム化合物気体であるゲルマン等がその有効分子直径が 4.8 \AA 以上を有することを利用したものである。

即ち、有効穴径が $2.0 \sim 4.65 \text{ \AA}$ のモレキュラーシーブまたはゼライトを利用して、 4.5 \AA 以下の有効分子直径（以下分子径という）を有する不純物である珪化合物気体例えば水(H_2O)、炭酸ガ

ス(CO)、酸素(O_2)、また炭化合物気体例えばメタン(CH_4)、エタン(C_2H_6)、プロペン(C_3H_6)、 C_4H_{10} 、 C_4H_8 等を吸着、除去することを目的としている。

さらにこの吸着力を助長するため、この化学吸着をする吸着材を室温 $\sim 100^\circ\text{C}$ 好ましくは $-20 \sim 700 \text{ K}$ 冷却し、さらにその吸着能力を50倍以上高めることを目的としている。

かくして従来PIII接合を有する非単結晶半導体特にアモルファス半導体が 1 mW/cm^2 (100mW/cm²)の条件下にて0~8%の変換効率しか出なかつたものを、11~14.5%にまで真性変換効率を高めることができた。

特にこの活性半導体層であるI層において、その炭素濃度を従来の $2 \sim 4 \times 10^{17} \text{ cm}^{-3}$ より $5 \times 10^{16} \text{ cm}^{-3}$ 以下好ましくは $1 \times 10^{16} \sim 1 \times 10^{15} \text{ cm}^{-3}$ にまで低め、さらに半導体中にO—O結合を多数有する、即ちクラスター状に混入した炭素を $4 \times 10^{17} \text{ cm}^{-3}$ 好ましくは $4 \times 10^{16} \sim 1 \times 10^{15} \text{ cm}^{-3}$ にまで下げることにし、半導体例えばシリコン半導体中の再結合中心の密度

を $1 \times 10^{17} \text{ cm}^{-3}$ より $1 \times 10^{16} \text{ cm}^{-3}$ 以下好ましくは $5 \times 10^{15} \sim 1 \times 10^{14} \text{ cm}^{-3}$ にまで下げるのに成功したことを特徴としている。

従来、炭素は半導体例えばシリコン半導体中に局部的にSi—O—Siを構成し、絶縁性をのみ示すものとしていた。しかしシリコン中に炭素が数ケ〜十数ケ集合してクラスターを作ると、それは電子、ホール、の再結合中心を作り、光照射によつて発生した少数キャリアのキャーとして作用してしまうことは、水素またはヘロゲン元素が添加されたプラズマ気相法により得られた非単結晶半導体においてもきわめて顕著であることが判明した。また、炭素の不對結合等はN型のドナーセンターとしても作用してしまい、非単結晶半導体をアモルファスより結晶性を有する構造特性をもつた半導体（半結晶質）とするとN型化してしまうことがわかった。

このため、かかるドナーセンターとなる炭素を積極的に除去し、構造的に不純物を有する真性

（フェルミレベルがバンド巾の $n/4 \pm 1/2$ ）の半導体を作ることとは工業的応用を考えるとき極めて重要であつた。

さらに炭素についても、エタン等 C_2H_6 (m^2) においては、半導体中にそのまま混入し、再結合中心を多く発生させてしまい、キャリア特にホールのライフタイムの減少をもたらしてしまつた。

本発明は、かかる不純物を除去し、シリコン半導体中は炭素と再結合中心中和用に必要な水素または酸素を主成分とし、さらにフェルミレベルをシフトさせるためのⅡ価またはⅢ価の不純物を($10^{17} \sim 5 \times 10^{17} \text{ cm}^{-3}$)添加したことを特徴としている。

従来シランは有効分子径を 6 \AA 弱($4.0 \sim 6.4$)有し、またゲルマンは約 6 \AA を有している。（ポリシラン等はさらに大きな有効分子径を有する）しかし、例えば最も有効分子径の小さいシラン（モノシラン）において、その反応性気体中

に含有される不純物 べると、表1の如くである。

表 1
エピタキシャル用 エレクトロニクス用

純度 (%)	99.99	99.9
水素 (ppm)	300	3000
酸素	5	50
炭素	0.1	1
アルゴン	10	50
ヘリウム	10	50
メタン	5	50
エタン	0.1	0.5
エチレン	0.1	0.5
プロパン	0.1	0.5
プロピレン	0.1	0.5
塩素化合物	10	50
水	5	5

これらを用いて、特にこのエピタキシャル成長をさせる場合、気相-固相反応の際、酸化物および塩化物は偏折効果により、上記表1の約1/30に小さくなる。このため比抵抗 $100\Omega/\text{cm}^2$ 以上の実質的真性の半導体を得ることができる。

しかし、 $100\sim 400^\circ\text{C}$ で行なわれるグロー放電を用いたプラズマ気相法においては、かかる物理精製である不純物の偏折効果を期待することはできない。

このため、表1の如く不純物はそのまま半導体中に混入し、特に炭素については、すべてシランと反応し、反応生成物を作る。シラン自体については、プラズマ反応により活性化(イオン化)が1~5%であり、そのため実質的にガス状態よりもさらに約20~50倍に捕縛されて半導体膜中に混入してしまふことがわかった。

このため、反応性気体をプラズマ気相法用を用いる時、その反応装置において精製することがきわめて重要であることが実験的に判明した。

かくして、本発明においては、AM1にて変換効率を10%以上保証するため、そのI層中に炭素は $5 \times 10^{-6} \text{cm}^3$ 以下とし、さらにクラスター状に入れた炭素においても、 $4 \times 10^{-6} \text{cm}^3$ 以下であることがきわめて重要である。かかる半導体の高純度化を本発明は目的としている。

以下に図面に従つて示す。

図1図は本発明の半導体装置の作製に用いられた製造装置の概要を示す。

図面において、反応炉(1)に対し、外熱加熱炉(2)、基板(3)、一對をなす電極(4)、(5)、高周波発振器(6) (例えば13.56MHzまたは100kHz)、さらに反応性気体の活性化、分解を行なうため、10Hz以上の周波数のマイクログ波例えば2.45GHzの発振器(7)、アテニユエーター(8)を有しているセラミック(9)で保護された放出部(10)、0.001~10torrに保持された反応炉(1)へマイクログ波を放出させた。反応炉全体は電波障害のないようにシールド(11)がなされ、反応性気体により基板

(12)上に半導体膜を形成させるに際し、電気エネルギーの電界は、被形成面に平行に設けられている。また、反応性気体は被形成面に平行に層流を有するように配置されている。

反応性気体はキャリアガス例えば酸素、水の不純物は0.1ppmにまで下げた水素を(13)より導入させた。また、遷移膜を形成させようとする場合、遷化物気体であるシランを(14)より導入した。また、P型用不純物である水素により500~5000ppmに希釈されたジボランを(15)より、また同様に水素により希釈されたフォスヒンを(16)より導入した。

これら反応性気体は、ガス精製器(17)(18)、(19)を介して反応炉に所定の流量導入させた。これらのガス精製器は、反応ガスの入口側に有効穴径2.7~4.55mmのJAまたは4Aまたは4.5A例えば4Aの有効穴径3.5~4.5mmのモレキュラーシーブまたはゼライトを用いた。このモレキュラーシーブまたはゼライトはNo. (19) (

(B1Q) $27\sim 30H_2O$ を4Aは示~~す~~ また4.5Aは(E_4Zn)
(A1Q) (B1Q) $27\sim 30H_2O$ の分子式で示されるもの
を用いた。さらにこの後、膜形成用のガスク
リーン (商品名 O-RX) とともに化精工製を用
いた。

さらにこれらの精製器の化学的耐性を向上さ
せるため、 $-70^{\circ}C$ 室温、例えば $-30^{\circ}C$ に電子恒温
層(9)(10)により冷却した。水素希釈されたフォ
スフィンについては、その有効分子径が約4.3Aを
有するため、3Aまたは4Aを用いた。また、シ
ランまたはジボランに対しては、3A 4A 4.5A
のいずれもが適用可能であつた。

特にシランに対しては、その中にあるN化
しやすくない不純物である酸素以外に、フォスフィン
がその表面を0.01PPb^{1/100}Kまで下~~げ~~ 4.5Aを
用いることが特に有効であつた。

排気系はニードルバルブ(4)、ストップバルブ
(4)、真空ポンプ(4)をへて排気(4)させた。反応炉
内の圧力はニードルバルブ(4)により0.001~10

torr 代表的には~~0.1torr~~ 0.1torrに制御した。

第2図は第1図の結果によつて得られた特性
である。即ち、基板温度 $250^{\circ}C$ 反応炉内の圧力
0.1torr とした時、基板例えばガラス上に非単
結晶半導体層を1 μ の厚さに形成した場合の光
照射(AM1)44, 44である。

図面において、シランに対しかかる精製を行
なわない場合、前記した如くのボンベ内での不
純物がそのまま半導体層内に入り、特に酸素ま
たは炭素はシリコンを非晶質化する効果がある。
このため、光伝導度(4)、暗伝導度(50)を得た。
即ち、図面において20~30Wの高周波出力にか
いて、光伝導度は $10^7 (cm)$ を有するが、同時に
この時半導体が一部~~は~~ 性を有する非晶質化す
る。このためこの半導体中の不純物である酸素
がドナーセンターとなり、N型化してしまう。
結果として、真性半導体として用いんとする場
合は、逆の不純物であるホウ素を~~10¹⁷ cm³~~ $10^{17} cm^3$
の濃度⁽¹⁴⁾に添加するか、または1~6Wの低い高周

波出力に10Wはならない。しかしこれらはい
ずれにおいても、光電気伝導度を $10^7 \sim 10^8 (cm)$
のオーダーにまで下げてしまう。

かかる従来の方法ではなく、本発明はシラン
中の不純物を精製後(第1図(4)(4))で十分除去
するとともに、ボンベにシランを充填するに際
しても、十分なる精製をして充填したものであ
る。

かくすることにより、第2図において光照射
伝導度(4)、暗伝導度(4)を得ることができた。

この図面より明らかな如く、光伝導度がプラ
ズマ放電出力が2~10Wにおいて $10^4 (cm)$ と大き
く、加えて暗伝導度が $10^7 \sim 10^8 (cm)$ と小さい。
即ち、真性半導体としての活性化エネルギーは十
分大きく、フェルミレベルも $2.0 \sim 2.1 eV$ を
有せしめることができた。

さらにこの特性を調べてみると、~~44, 44~~
後において弱い結晶化が8~10Wで得られる被膜
中においてもみられ、これらはアモルファス構

造と結晶化構造の中間構造のセミアモルファス
(半非晶質)半導体といえるものであつた。

即ち、真性半導体をプラズマ気相法により100
~3000 例~~え~~ 2500 で得ようとする~~と~~、その時
このシラン中の不純物が単なるOVDまたはエビ
タキシャル成長に比べて50~100倍もの濃度
に入りやすい。そのため、~~2.0 eV~~ の不純物の
混入を可能なかぎり少なくした超高純度シラン
を用いることはきわめて重要である。かくして
2~10Wの低いプラズマ出力においても、暗伝導
度が小さく、かつ光伝導度は単結晶の $10^4 (cm)$
と同一レベルの $10^7 \sim 10^8 (cm)$ の値を得ることが
できた。

特にかかる低い高周波出力で得られることは
本発明の如くPIII接合を第2層、I層、II層と積
層するに際し、その境界領域を面として明確に
するため、即ちII層上にI層を積層する際、そ
のII層放電の⁽¹⁴⁾スベ⁽¹⁴⁾が結果により、下地II層を
たつき、~~II層~~ 層を作つてしまうことを防ぐこと

ができ、きわめて重要である。

さらに第2図において、2.45GHzのマイクロ波を加えると、反応性気体のイオン化率を高めるため、その特性は同様であつたが、被膜の成長速度が約3~5倍に増し、大きくすることができた。例えばシランを3000/分、0.1torrで導入し、高周波プラズマのみでは1~3Å/秒と低かつたが、この場合は10~15Å/秒と高速成長させることができた。

第3図は本発明のシランの精製に関し、ガス精製器の有効性を確認する実験をしたものである。

図面において、横軸は酸素または炭素の被膜中の濃度を示し、これはFTIR(フーリエ変換式の赤外線吸収スペクトル)で調べたものであり、たて軸は光照射時の電気伝導度を示す。

シラン系に炭素系精製器(4)、セラライト(5)をともに用いた場合、曲線(4)、(5)が得られる。曲線(4)は炭素濃度が $3 \times 10^{17} \text{ cm}^{-3}$ 混入した時の値

酸素化を行なつた時の酸素濃度をパラメータとした膜の特性であり、また曲線(4)は酸素濃度 $1 \times 10^{17} \text{ cm}^{-3}$ における炭素濃度をパラメータとして得た特性である。いずれにしても酸素、炭素の 10^{17} cm^{-3} 、 $3 \times 10^{17} \text{ cm}^{-3}$ 混入した場合、伝導度は $10^4 \sim 10^5 (\text{cm})$ しかなく、炭素の混入が伝導度の低下をもたらす要因であることがわかる。

さらに図面については、曲線(4)、(5)は酸素濃度 $3 \times 10^{17} \text{ cm}^{-3}$ 、炭素濃度 $4 \times 10^{17} \text{ cm}^{-3}$ を含有したものであつて、それぞれ炭素濃度、酸素濃度をパラメータとして示している。即ち特に酸素を $5 \times 10^{17} \text{ cm}^{-3}$ 以下(4)、炭素を $4 \times 10^{17} \text{ cm}^{-3}$ 以下(5)とすることにより、光電気伝導度は $10^4 (\text{cm})$ を期待することができる。基板の温度を2500より2000、1500と下げると約1/3ずつその伝導度は低くなつた。

これらの酸素、炭素濃度とするには、シラン中に酸素を0.03PPM以下にすることがきわめて重要であり、特に精製を上記室温ではなく、0°

-300°とすると、酸素不純物濃度は0.01PPM、0.003PPMにまで下げることができる。また、0MHzは0.1PPM、0.01PPMにまで下げることができた。さらに-1000°Kすると、質量分析器にて全く測定不可能である。また形成された半導体層中の酸素、炭素濃度も、 $1 \times 10^{17} \text{ cm}^{-3}$ 以上となり、FTIRの検出限界をこえることができた。

もちろん以上の如き高純度とするには、第1図に示された反応系においても、その全体のリーク量は $1 \times 10^{-9} \text{ cc/sec}$ 以下、好ましくは $1 \times 10^{-10} \text{ cc/sec}$ 以下とすることが重要であり、ジョイント等の密封も重要であることを付記する。

第4図は第1図の製造装置を用いて形成したもので、図面(A)はガラス基板(3)上に透明導電膜(3a)、さらにP型酸化硅素(0.1~0.4、 $0 < x < 1$) (例えばx=0.05)またはP型元素半導体(3a)により200Åの厚さK形成した。さらにこの後、この反応系をクワイバンプ(4)にて十分真空引をした後、精製したシランより真性半導体層

を0.5μの厚さK(3b)として形成した。さらに再び真空引をしてN型半導体層(3c)をシランにフォスヒンを1%の濃度K混入して200Åの厚さK形成した。この後、(3)のアルミニウム(3d)を真空蒸着して設けたものである。

高周波出力は5W、基板温度2000°とした。すると変換効率を10.5%を得ることができた。

このガラス基板の特性をさらに改良するため第4図(B)構造のPIN接合型光電変換装置を作製した。

図面において、ステンレス基板(3)上にP型半導体層(3a)I型半導体層(3b)N型の順層構造を有する多結晶半導体層(3c)を第1図の装置Kより、それぞれ200Å、0.1μ、150Åの厚さK形成した。さらに透明導電膜(4a)をITO(酸化インジウム(酸化スズ0~10%)を真空蒸着し、アルミニウムの補助電極(3d)を設けた。

以上の第4図(B)の構造において、真性半導体層に混入した酸素濃度をパラメータとしたその

光電変換装置の交換特性を第5図に示す。

酸素濃度が $4 \times 10^{16} \text{ cm}^{-3}$ 以下特に $1 \times 10^{16} \text{ cm}^{-3}$ 以下特に $1 \times 10^{15} \text{ cm}^{-3}$ 以下になると、その変換効率は 1 m^2 にて 10 m^2 の面積にて12倍をこえることができた。また1の曲線でも0.7をこえ、また特に短絡電流も最高 20 mA/cm^2 を得ることができるようになった。開放電圧は $0.86 \sim 0.93 \text{ V}$ であった。やはり酸素濃度が小さくなり、シリコンをよりシリコンらしく作ることにより大きな特性向上がみられた。

第4図(b)の実施例において、N型半導体層を繊維構造を有する多結晶半導体とし、それを $200 \sim 2500$ の低温で作ることに関しては、本発明人の出願になる特許願(特願昭59-117771(平.特.11))に示されている。

以上の説明において、PIN接合を1つ有する光電変換装置を示したが、これを置換えてPINPIN...PIN接合と少なくとも2接合あらしめるとも本発明の応用として重要であり、またこれ

らを基板上に形成してもよい。

また、これまでの説明においては珪化物気体としてシラン特にモノシランを示した。しかしシラン等のポリシランに対しても、本発明はその有効粒径が大きいことによりそれらを適用することが可能であり、また、Bi₂S₃に関しては同様にその分子径が 5 \AA と大きいため有効である。またゲルマニウムに関しては、ゲルマニウム(001)を用い非単結晶半導体として $\text{Bi}_2\text{Ge}_2\text{S}_7$ ($0 < x < 1$)または001のみをPIN接合が有するI型半導体層に用いることも可能である。

以上の説明においては、PIN接合を1つ有する光電変換装置を主として説明した。しかし半導体層がNIまたはPI接合を少なくとも1つ有する即ちN(ソース・ドレイン)-I(チャネル形成領域)-N(ドレインまたはソース)、PIP接合を有する絶縁ゲイト型電界効果半導体装置、またはNIPIN、PINIP接合を有するトランジスタに対しても本発明はきわめて有効である。

4. 図面の簡単な説明

第1図は本発明の半導体装置作製用のプラズマ気相反応炉の概要を示す。

第2図は本発明を従来の真性半導体の電気特性を示す。

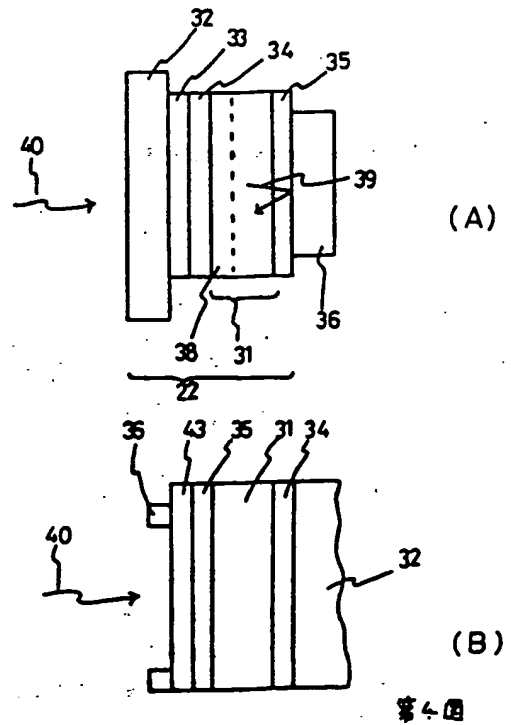
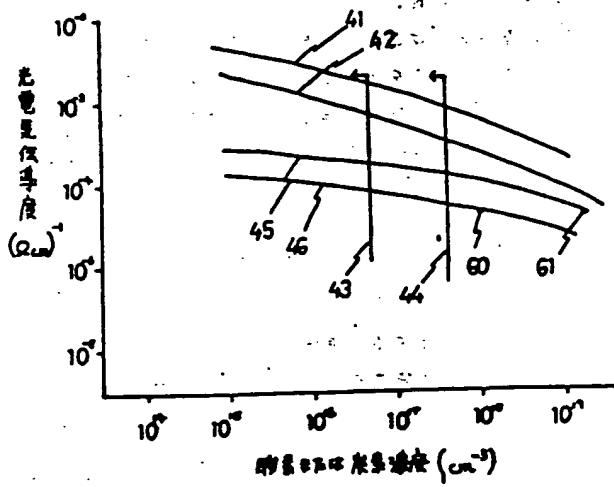
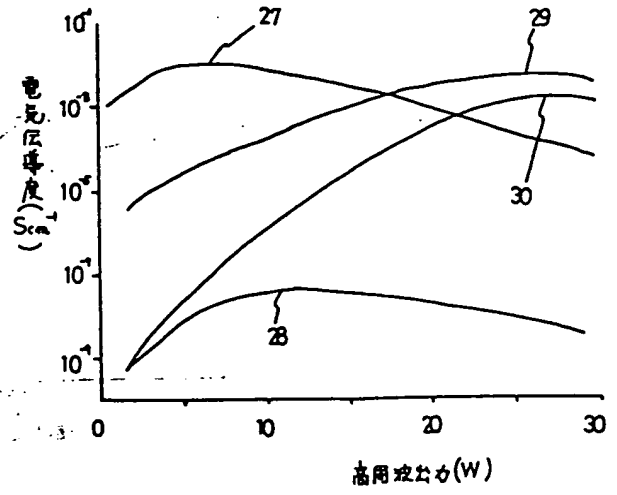
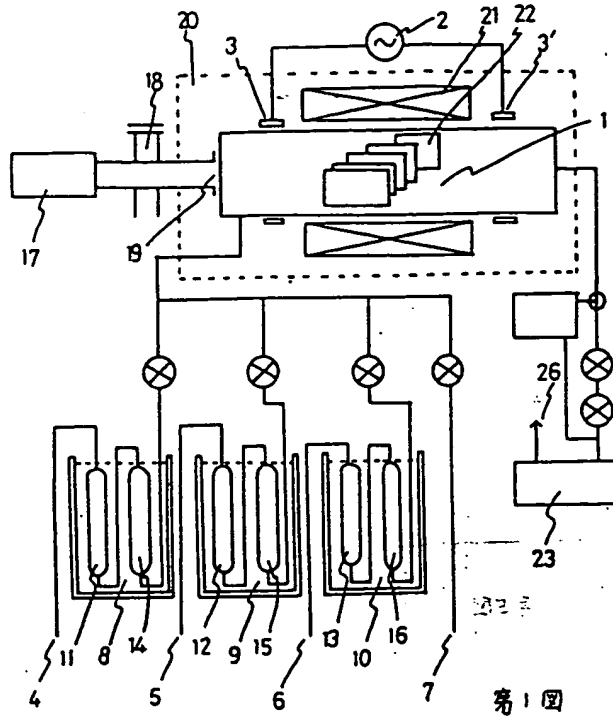
第3図は本発明のガス精製方法によつて得られた電気特性の変化を示す。

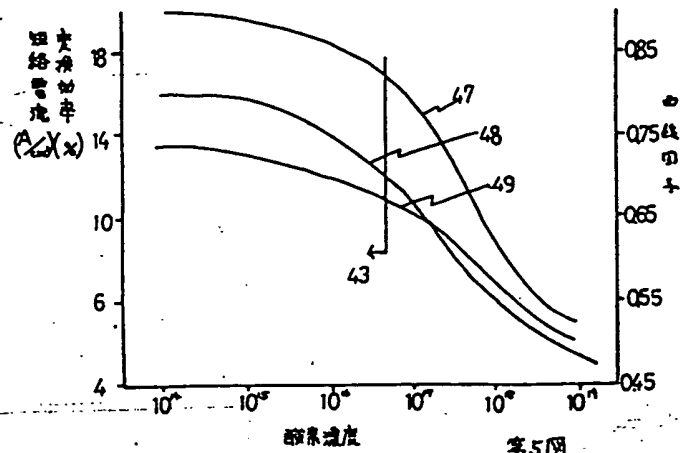
第4図は本発明の光電変換装置を示す。

第5図は第4図(b)によつて得られた光電変換装置の特性を示す。

特許出願人

株式会社半導体エネルギー研究所
代表者 山崎 舜





第5図

手続補正書(自発)

昭和58年8月8日

特許庁長官 殿

1. 事件の表示

昭和57年特許願第146561号

2. 発明の名称

半導体装置

3. 補正をする者

事件との関係 特許出願人

住所 東京都世田谷区北島山7丁目21番21号

名称 株式会社半導体エネルギー研究所

代表者 山崎 隆 平

4. 補正の対象

明細書全文および図面

5. 補正の内容

- (1) 明細書全文を別紙のごとく補正する。
- (2) 第1図を別紙のごとく番号を挿入し、補正する。(コピーしたものに朱書)
- 第2図、第3図、第5図を別紙のごとく補正する。
- 第6図、第7図を別紙のごとく挿入する。

明 細 書

1. 発明の名称

半導体装置

2. 特許請求の範囲

1. 基板または基板上の第1の電極と、該電極上にPIII接合を少なくとも1つ有する非単結晶半導体と、該半導体上の第2の電極とが設けられた半導体装置において、前記PIII接合を構成する真性または実質的に真性の半導体層は、少なくとも酸素を $5 \times 10^{18} \text{ cm}^{-3}$ 以下の不純物濃度またはクラスター状に混入した炭素を $4 \times 10^{18} \text{ cm}^{-3}$ 以下の不純物濃度に含有したことを特徴とする半導体装置。

2. 特許請求の範囲第1項において、真性または実質的に真性の半導体は、格子歪を有する半導体または非晶質または非晶質構造を有する水素またはハロゲン元素が添加された硅素またはゲルマニウムを主成分とした半導体よりなることを特徴とする半導体装置。

3. 発明 詳細な説明

本発明は、酸素は炭素を極低濃度にした超高純度の半導体製造用気体を用いて、PIN 接合を少なくとも1つ有する光電変換装置およびその作製方法に関する。

本発明は、基板または基板上の第1の電極と、該電極上にPIN 接合を少なくとも1つ有する非単結晶半導体層を、P型半導体層、I型半導体層およびN型半導体層を積層することにより設けた光電変換装置において、特に光照射により光起電力を発生する活性半導体層である真性または実質的に真性（PまたはN型用不純物を $1 \times 10^{18} \sim 5 \times 10^{17} \text{ cm}^{-3}$ の濃度に人為的に混入させた、またはバックグラウンドレベルで混入した）半導体に対し、特に絶縁性の助長または再結合中心の発生をもたらす酸素または炭素を平均濃度において $5 \times 10^{18} \text{ cm}^{-3}$ 以下好ましくは $1 \times 10^{18} \text{ cm}^{-3}$ 以下の極低濃度にすることを目的としている。

本発明は、かかる目的のため、半導体用の反応性気体例えば硅化物気体であるシラン、ポリシラン、弗化硅素、またゲルマニウム化合物気体であ

るゲルマンの有効分子直径が4.8 Å以上を有することを利用したものである。

即ち、有効孔径が2.9 ~ 4.65 Åのモレキュラーシーブまたはゼオライトを利用して、4.5 Å以下の有効分子直径（以下分子径という）を有する不純物である酸化物気体例えば水（ H_2O ）、炭酸ガス（ CO_2 ）、酸素（ O_2 ）、また炭化物気体例えばメタン（ CH_4 ）、エタン（ C_2H_6 ）、プロパン（ C_3H_8 ）、 $\text{C}_2\text{H}_5\text{OH}$ 、 C_2H_6 等を吸着、除去することを目的としている。

さらにこの吸着力を助長するため、この化学吸着をする吸着材を室温 ~ 100°C好ましくは-20 ~ -70°Cに冷却し、さらにその吸着力を50倍以上に高めることを目的としている。

かくして従来PIN 接合を有する非単結晶半導体特にアモルファス半導体がAM1（100mW/cm²）の条件下にて6 ~ 8%の変換効率しか出なかったものを、11 ~ 14.5%にまで真性変換効率を高めることができた。

特に、この活性半導体層であるI層において、その酸素濃度を従来の $2 \sim 4 \times 10^{18} \text{ cm}^{-3}$ より $5 \times$

10^{18} cm^{-3} 以下好ましくは $1 \times 10^{18} \sim 1 \times 10^{17} \text{ cm}^{-3}$ にまで低め、さらに半導体中にC—C結合を多数有する、即ち、クラスター状に混入した炭素を $4 \times 10^{18} \text{ cm}^{-3}$ 以下好ましくは $1 \times 10^{18} \sim 1 \times 10^{17} \text{ cm}^{-3}$ にまで下げることにより、半導体例えばシリコン半導体中の再結合中心の密度を $1 \times 10^{18} \text{ cm}^{-3}$ より $1 \times 10^{17} \text{ cm}^{-3}$ 以下好ましくは $5 \times 10^{16} \sim 1 \times 10^{16} \text{ cm}^{-3}$ にまで下げるのに成功し、かつ光照射により光伝導度が劣化するいわゆるステブラ・ロンスキ効果を除去することを特徴としている。

従来、酸素は半導体例えばシリコン半導体中に局所的にSi—O—Siを構成し、絶縁性のみ示すものとしていた。しかしシリコン中に酸素が数ヶ十酸ヶ濃度集してクラスターを作ると、それは電子、ホールの再結合中心を作り、光照射によって発生した少数キャリアの再結合中心即ちキャリアとして作用してしまうことは、水素またはハロゲン元素が添加されたプラズマ気相法により得られた非単結晶半導体においてもきわめて顕著でことが判明した。また、酸素不対結合等はN型の

ドナーセンタとしても作用してしまい、非単結晶半導体をアモルファスより格子歪を有する構造敏感性を持った半導体（半結晶質）とするとN型化してしまうことがわかった。

このため、かかるドナーセンタになる酸素を本質的に除去し、構造的に敏感性を有する真性（フェルミレベルがバンド巾のほぼ中央部）の半導体を作ることは工業的応用を考えるとき極めて重要であった。

さらに炭素についても、エタン等 C_mH_n （ $m > 2$ ）においては、半導体中にそのまま混入し、再結合中心を多く発生させてしまい、キャリア特にホールのライフタイムの減少をもたらしてしまった。

本発明はかかる不純物を除去し、シリコン半導体は硅素と再結合中心中和用に必要な水素または弗素を主成分とし、さらにフェルミレベルをシフトさせるためのII価またはV価の不純物を（ $10^{18} \sim 3 \times 10^{18} \text{ cm}^{-3}$ ）添加したことを特徴としている。

従来シランは有効分子径を5 Å弱（4.8 ~ 5 Å）し、またゲルマンは約6 Åを している。（本

リシラン等はさらに大きな分子径を有する)
しかし、例えば最も有効分子径の小さいシラン
(モノシラン)において、その反応性気体中に含
有される不純物を調べると、表1のごとくである。

表 1

	エピタキシャル用	エレクトロニクス用
純度 (%)	99.99	99.9
水素 (PPH)	300	3000
酸素	5	50
酸素	0.1	1
アルゴン	10	50
ヘリウム	10	50
メタン	5	50
エタン	0.1	0.5
エチレン	0.1	0.5
プロパン	0.1	0.5
プロピレン	0.1	0.5
塩素化合物	10	50
水	3	5

かくして、本発明においては、 AlN にて変換効
率を10%以上保証するために、その1層中に酸素
は $5 \times 10^{10} \text{ cm}^{-3}$ 以下とし、さらにクラスター状に混
入した炭素においても、 $4 \times 10^{10} \text{ cm}^{-3}$ 以下好まし
くは $1 \times 10^{10} \text{ cm}^{-3}$ 以下であることがきわめて重要
である。かかる半導体の高純度化を本発明は目的
としている。

以下に図面に従って示す。

第1図は本発明の半導体装置の作製に用いられた
製造装置の概要を示す。

図面において、反応炉(1)(直径35cm)に対
し、外部加熱炉(21)、基板(22)、一對をなす電極
(3)(3)、高周波発振器(2)(例えば13.56MHzま
たは100MHz)、さらに反応性気体の活性化、分解を
行うための16MHz以上の周波数のマイクロ波例えば
2.45GHzの発振器(17)、アテニュエーター(18)
を有している。

セラミックス(19)で保護された放出部から、
0.001~10torrに保持された反応炉(1)へマイ
クロ波を放出させた。反応炉全体は電磁遮蔽のな

これらを図べ にこのエピタキシャル成長
をさせる場合、気相—固相反応の際、酸化物およ
び窒化物は偏析効果により、上記表1の約30分の
1に小さくなる。このため比抵抗 $100 \Omega \text{ cm}$ 以上の
実質的真性の半導体を得ることができる。

しかし、100~400℃で行われるグロー放電を
用いたプラズマ気相法においては、かかる物理精
製である不純物の偏析効果を期待することはでき
ない。

このため、表1の示す不純物はそのまま半導体
中に混入してしまい、特に酸素および水について
は、すべてシランと反応し、反応生成物の酸化珪
素を作る。シラン自体については、プラズマ反応
により活性化(イオン化)が1~5%であり、そ
のため実質的にガス状態よりもさらに約20~30倍
に濃縮されて半導体膜中に $2 \sim 4 \times 10^{10} \text{ cm}^{-3}$ もの
濃度になって混入してしまうことがわかった。

このため、反応性気体をプラズマ気相法用に用
いる時、その反応装置において精製することがき
わめて重要であることが実験的に判明した。

いようにシールド(20)がなされ、反応性気体
により基板(22)上に半導体膜を形成させるに際し、
電気エネルギーの電界は、波形成面に平行に周流を
有するように配置されている。

反応性気体はキャリアガス例えば酸素、水の
不純物は1ppb以下好ましくは0.1ppbにまで下げた水
素を(7)より導入させた。また、珪素膜を形成
させようとする場合、珪化物気体であるシランを
(4)より導入した。また、P型用不純物である
水素により500~5000PPHに増量されたフォスヒ
ンを(6)より導入した。

これら反応性気体は、ガス精製器(11)(14)(12)、
(15)(13)(16)を介して反応炉に所定の流量導入
させた。これらのガス精製器は、反応ガスの入り
口側に有効穴径2.7~4.65mmの3A、4A、または4A
5A例えば4A 有効穴径3.5~4.3mm モレキュラ
ーシーブまたはゼオライトを用いて炭化した。こ
のモレキュラーシーブまたはゼオライトは、No
(Al₂O₃)(SiO₂) 27~30% を4Aは示し、また4.5
Aは (K₂Zr₂)(Al₂O₃)(SiO₂) 27~30% の分子式

で示されるものを用い、さらにこの後に、脱酸素用のガスリーン（商品名GC-RX）を連結した。これらはともに日化精工製を用いた。

さらにこれらの精製器の化学吸着性を向上させるため、-70℃～室温、例えば-30℃に電子恒温層(8)(9)(10)により冷却した。水素希釈されたフォスヒンについては、その有効分子径が約4.3Åを有するため、3Åまたは4Åを用いた。またシランまたはジシランに対しては、3Å、4Å、4.5Åのいずれもが適応可能であった。

特にシランに対しては、その中においてN化しやすい不純物である酸素以外に、フォスヒンがその濃度を0.01ppb以下(5×10^{-11} cm³以下)にまで下げるため、4.5Åを用いることが特に有効であった。

排気系はニードルバルブ(25)、ストップバルブ(24)、真空ポンプ(23)を経て排気(26)させた。反応炉内の圧力はニードルバルブ(25)により0.001～10 torr、代表的には0.05～0.1 torrに制御した。

れらはいずれにおいても、曲線(29)より明らかなごとく、光伝導度を $10^{-4} \sim 10^{-5}$ (Ωcm)⁻¹のオーダーにまで下げてしまう。

かかる従来の方法ではなく、本発明はシラン中の不純物特に酸素、水または炭化水素を精製(第1図(11)(14))して十分除去するとともに、ボンベにシランを充填するに際しても、十分なる精製をして充填したものである。

かくのごとく水を含む酸素を精製除去することにより、第2図において光照射伝導度(27)、暗伝導度(28)を得ることができた。

この図面より明らかなごとく、光伝導度がプラズマ放電出力が1～10 Wの低いプラズマエネルギーの領域において、 10^{-4} (Ωcm)⁻¹以上と大きく、加えて暗伝導度が $10^{-4} \sim 10^{-5}$ (Ωcm)⁻¹と小さい。

即ち、真性半導体として、価帯エネルギーは十分大きく、フェルミレベルもほぼ $E_g/2$ 付近を有せしめることができた。

さらにこの性質を調べてみたところ、X線回折像において高い結晶化が5～10 Wで得られる被膜

第2図は第1図の結果によって得られた特性である。即ち、基板温度250℃、反応炉内の圧力0.1 torrとした時、基板例えばガラス上に非結晶半導体層を1 μの厚さに形成した場合の光照射(AM 1)伝導度、暗伝導度である。

図面において、シランに対しかかる精製を行わない場合、前記した如くの本ベ内での不純物がそのまま半導体層内に入り、特に酸素または炭素はシリコンを非晶質化する作用効果がある。

このため、光伝導度の曲線(29)、暗伝導度の曲線(30)を得た。即ち、図面において20～30 Wの高周波出力において、光伝導度は 10^{-4} (Ωcm)⁻¹のオーダーを有するが、同時にこの時半導体が一部秩序性を有する半非晶質化する。このためこの半導体中の不純物である酸素がドナーセンタとなり、N型化して、暗伝導度(30)も 10^{-4} (Ωcm)⁻¹のオーダーになってしまう。結果として、真性半導体として用いんとする場合は、逆の不純物であるホウ素を $1 \sim 3 \times 10^{17}$ cm⁻³の濃度に添加するか、または1～5 Wの低出力にしなければならない。しかしこ

の一部においてみられ、これらはアモルファス構造と結晶化構造の中間構造のセミアモルファス(半非晶質)半導体といえるものであった。

即ち、真性半導体をプラズマ気相法により100～300℃例えば250℃で得ようとする、その時このシラン中の不純物が単なるCVDまたはエピタキシャル成長に比べて30～100倍もの濃度に入りやすい。そのため、出発材料中の不純物の混入を可能なかぎり少なくした超高純度シランを用いることはきわめて重要である。かくして2～10 Wの低い出力においても、暗伝導度が小さく、かつ光伝導度は単結晶の 10^{-4} (Ωcm)⁻¹に近い $10^{-4} \sim 10^{-5}$ (Ωcm)⁻¹の値を得ることができた。

特にかかる低い高周波出力で得られることは、本発明のごとくPIII接合を順次P層、I層、N層と積層するに際し、その境界領域を面として明確にするため、即ちP層上にI層を積層する際、その放電P層をスパッタ(積層)する効果により下地P層を叩き、混合層をその界面PIII接合界面にってしまうことを防ぐことができ、きわめて重

要である。

さらに第2図において、2.45GHzのマイクロ波を加えると、反応性気体のイオン化率を高めるため、その特性は同様であったが、被膜の成長速度が約3～5倍に増し、大きくすることができた。

例えばシランを30cc/分、0.1torrで導入し、高周波プラズマのみでは1～3人/秒と低かったが、この場合は10～15人/秒と高速成長させることができた。

第3図は本発明のシランの精製に関し、ガス精製器の有効性を確認する実験をしたものである。

図面において、横軸は酸素または炭素の被膜中の濃度を示し、これはFTIR（フーリエ変換方式の赤外線吸収スペクトル）で調べたものであり、縦軸は光照射時の電気伝導度を示す。

さらに $1 \times 10^{18} \text{ cm}^{-3}$ 以下の不純物濃度に関しては、SIMS（カメカ社製3F型）を用いて測定をして調べた。その絶対量の補正は非晶質シリコンにイオン注入法により特定の注入量（例えば $1 \times 10^{18} \text{ cm}^{-3}$ ）を添加し、これをSIMSにて測定し、そのイ

オン強度により行われる。

シラン系に酸素系精製器（14）、ゼオライト（11）をともに用いた場合、曲線（45）、（46）が得られる。

曲線（45）は酸素濃度が $3 \times 10^{18} \text{ cm}^{-3}$ 混入した時の酸素化を行った時の酸素濃度をパラメータとした際の特性であり、また曲線（46）は酸素濃度 $1 \times 10^{18} \text{ cm}^{-3}$ （60）、 $3 \times 10^{18} \text{ cm}^{-3}$ （61）混入した場合、伝導度は $10^{-4} \sim 10^{-3} (\text{Gcm})^{-1}$ しかなく、特に酸素の混入が伝導度の低下をもたらす要因であることがわかる。

さらに図面については、曲線（41）、（42）は酸素濃度 $3 \times 10^{18} \text{ cm}^{-3}$ 、炭素濃度は $4 \times 10^{18} \text{ cm}^{-3}$ を含有したものであって、それぞれ炭素濃度、酸素濃度をパラメータとして示している。即ち特に酸素を $5 \times 10^{18} \text{ cm}^{-3}$ 以下（43）とすることにより、光電気伝導度は $10^{-3} (\text{Gcm})^{-1}$ のオーダーを、また暗伝導度は $10^{-10} (\text{Gcm})^{-1}$ のオーダーを期待することができる。

基板の温度を250℃より200℃、150℃と下げると、約1/3ずつその伝導度は低くなった。

これらの酸素、炭素濃度とするには、シラン中

の酸素（水）を0.03PPH以下にすることがきわめて重要であり、特に精製を上記室温ではなく、0～-30℃とすると、酸素不純物濃度は0.01PPH、0.003PPHにまで下げることができる。また、排気系をクライオポンプ引きとすることにより反応炉内の残存水を0.1PPH以下（ 10^{-4} torr 以下の到達真空度とする）とし、さらに油の逆蒸散を防いだ。

その結果、CaNaは0.1PPH以下にまで下げることができた。さらに出発シラン（取シランともいう）として液化・気化の物理精製したシランを用いると、質量分析器にてまったく測定不可能である。また形成された半導体層中の酸素、炭素濃度も、それぞれ 5×10^{18} 、 $4 \times 10^{18} \text{ cm}^{-3}$ 以下となり、SIMSの検出限界を超えることができた。もちろん以上のごとき高純度とするには、第1図に示された反応系においても、その反応炉を含む全体リーク量は $1 \times 10^{-10} \text{ cc/sec}$ 以下、好ましくは $1 \times 10^{-12} \text{ cc/sec}$ 以下とすることが重要であり、ジョイント等の工夫も重要であることを付記する。

第4図は第1図製造装置を用いて形成したも

ので、図面（A）はガラス基板（32）上に透明導電膜（33）、さらにP型炭化硅素（ $\text{Si}_x\text{C}_{1-x}$ 、 $0 < x < 1$ ）（例えば $x = 0.8$ ）またはP型硅素半導体（34）により100人（の厚さに形成した。さらにこの後の反応系をクライオポンプ（45）にて十分（ 10^{-4} torr 以下）真空引きをした後、精製したシランにより真性半導体層を0.5人（の厚さに（31）として形成した。さらに再び真空引きをしてN型半導体層（35）をシランにメタンを混入して $\text{Si}_x\text{C}_{1-x}$ 、 $x = 0.9$ とし、さらにフォスヒンを1%の濃度に混入して200人（の厚さに形成した。この後反射性電極例えば公知の銀またはアルミニウム（36）を真空中蒸着して設けたものである。

高周波出力は5W、基板温度200℃とした。すると変換効率10.3%を得ることができた。

このガラス基板特性をさらに改良するため、第4図（B）構造PIN接合型光電変換装置を作製した。

図面において、ステンレス基板（32）上にP型半導体層（34）、I型半導体層（33）、N型導電膜

造を有する多結晶半導体(35)を第1図の装置により、それぞれ200 μ m、0.5 μ m、150 μ mの厚さに形成した。さらに透明導電膜(43)をITO(酸化インジウム(酸化スズ0~10%))を真空蒸着し、アルミニウムの補助電極(36)を設けた。

以上の第4図(B)の構造において、真性半導体層に混入した酸素濃度をパラメータとしたその光電変換装置の変換効率特性を第5図に示す。

酸素濃度が $5 \times 10^{18} \text{ cm}^{-3}$ 以下特に $1 \times 10^{18} \text{ cm}^{-3}$ 以下になると、その変換効率(49)はAMIにて1 μ mの面積にて12%を超えることができた。またその曲線因子(48)も0.7を超え、また特に短絡電流(47)も最高20mA/ μ mを得ることができるようになった。開放電圧は0.88~0.93Vであった。やはり酸素濃度が小さくなり、シリコンをよりシリコンらしく作ることににより大きな特性向上が見られた。

第4図(B)の実施例において、N型半導体層を結晶構造を有する多結晶半導体とし、それを200~250 μ mの低濃度で作ることに関しては、本発明人

の出願になる特開昭57-087801(57.5.24)に示されている。

第6図、第7図は光電変換装置の信頼性を考慮した時にきわめて重要な信頼性特性を評価をしたものである。

図面は定エネルギー分光特性の測定の際、試料に加える光子数を $1 \times 10^{18} / \text{cm}^2$ とした曲線(50)を示す。縦軸は最大点を「1」に規格化量子効率(効率)を示した。この装置にAMI(100mW/ μ m)の光を2時間照射する。その後の光感特性が曲線(51)のごとく変化し、350~500nmの光に対しその特性がきわめて劣化・低下してしまうことがわかった。これを150 μ mで2時間熱アニール処理を加えると、曲線(52)となり、特性は350~500nmの短波長光では曲線(50)に回復をし、また600~800nmの長波長光は回復しない。このことよりかかる光照射—熱アニールの処理にて劣化しない即ちステブラ・ロンスキ効果のない高信頼性の光電変換装置が求められていた。

第7図は、I型半導体中の平均酸素濃度が $5 \times$

10^{18} cm^{-3} の場合の光電変換装置の特性を示す。

第6図に示す曲線(50)に対応して光照射(AMI 1)を2時間行うとかえて特性が向上ぶみの曲線(51)が得られた。さらに熱アニールを行うと曲線(52)がわずかに変化したにすぎなかった。

このことにより、I型半導体層中の不純物としての酸素の濃度がきわめて特性安定(劣化防止)化に重要であることが判明した。加えてその酸素濃度は少なくとも $5 \times 10^{18} \text{ cm}^{-3}$ においてきわめて劣化が少ないことが判明した。さらにこの光照射効果(ステブラ・ロンスキ効果)はその酸素濃度をさらに少なくすることにより、より高信頼性を導ることができた。加えて第5図より明らかなごとく、変換効率(曲線(49))が向上する。これはI型半導体層の酸素の不対結合等による再結合中心が減少し、ホール拡散長が大きくなり、空乏層の中も酸素濃度が $1 \times 10^{18} \text{ cm}^{-3}$ では0.1 μ mしかないものが、 $5 \times 10^{18} \text{ cm}^{-3}$ またはそれ以下では0.4 μ m以上になり最も好ましくはI型半導体の厚さ全体にわたった場合、全くの劣化が示されない光

電変換装置を作ることができる。

以上のごとく、本発明は酸素、炭素濃度特に不純物としての酸素を少なくしていけばいくほど光電変換装置として変換効率が向上し、かつ信頼性も向上することを見いだし、その実用的な酸素不純物が $5 \times 10^{18} \text{ cm}^{-3}$ 以下好ましくは $1 \times 10^{18} \text{ cm}^{-3}$ 以下であることを見いだしたものである。

以上の説明において、PIN接合を1接合を有する光電変換装置を示したが、これを重ねてPINPIN...PIN接合と少なくとも2接合とせしめることも本発明の応用として重要であり、またこれらを結晶表面を有する基板上に集積化してもよい。

また、これまでの説明においては塩化物質としてシリコン特にモノシリコンを示した。しかしシリコン等のポリシリコンに対しても本発明は有効であり、塩化物質を物理精製することはその分子径が大きいことによりそれらを選別することが可能である。また、塩素の臭化物質例えばSiF₄に関しても同様にその分子径が5 μ mと大きいので、有効である。またゲルマニウムに関しては、ゲルマ

ン (GaAs) を用い、非単結晶半導体として $\text{Si} \times \text{Ga}_{1-x}$ ($0 < x < 1$) または GaAs PIN 接合を有する I 型半導体層に用いることも可能である。

以上の説明においては、PIN 接合を 1 つ有する光電変換装置を主として説明をした。しかし半導体層が NI または PI 接合を少なくとも 1 つ有する即ち N (ソースまたはドレイン) I (チャネル形成領域) N (ドレインまたはソース) PIP 接合を有する絶縁ゲート型電界効果半導体装置、または NI PIN, PINIP 接合を有するトランジスタに対しても本発明はきわめて有効である。

4. 図面の簡単な説明

第 1 図は本発明の半導体装置作製用のプラズマ気相反応炉の概要を示す。

第 2 図は本発明で得られた特性および従来の真性半導体の電気特性を示す。

第 3 図は本発明の反応性気体精製方法によって得られた電気特性の変化を示す。

第 4 図は本発明の光電変換装置を示す。

第 5 図は第 4 図 (B) によって得られた光電変

換装置の暗特性を示す。

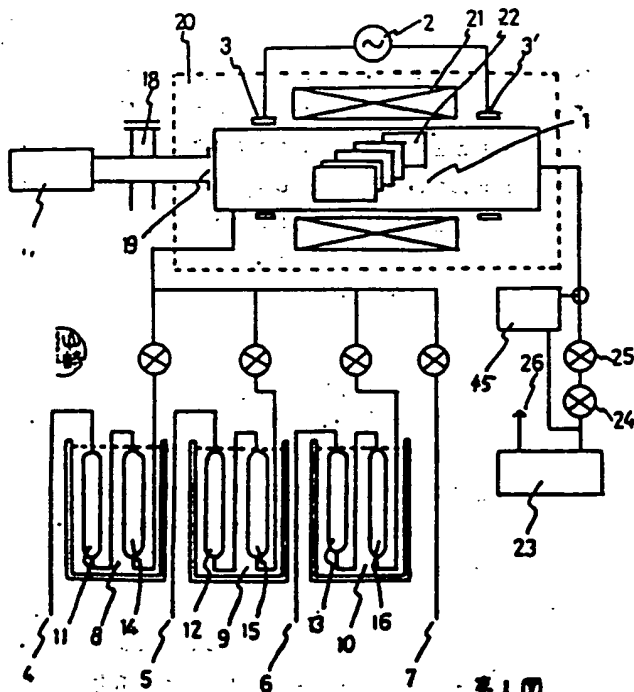
第 6 図は従来の光電変換装置の定エネルギー分光特性を示す。

第 7 図は本発明の光電変換装置の定エネルギー分光特性を示す。

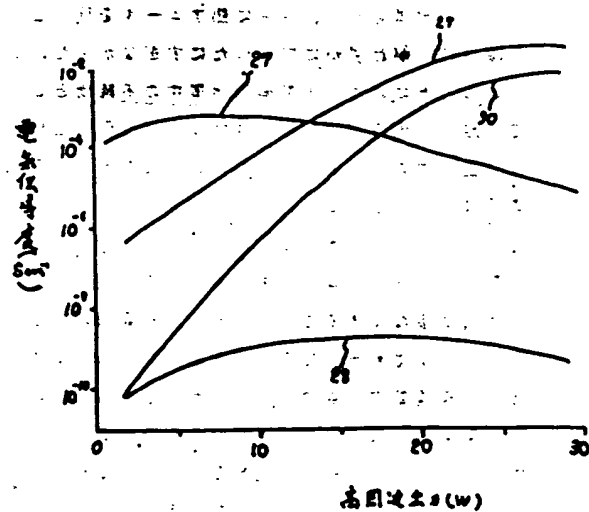
特許出願人

株式会社半導体エネルギー研究所

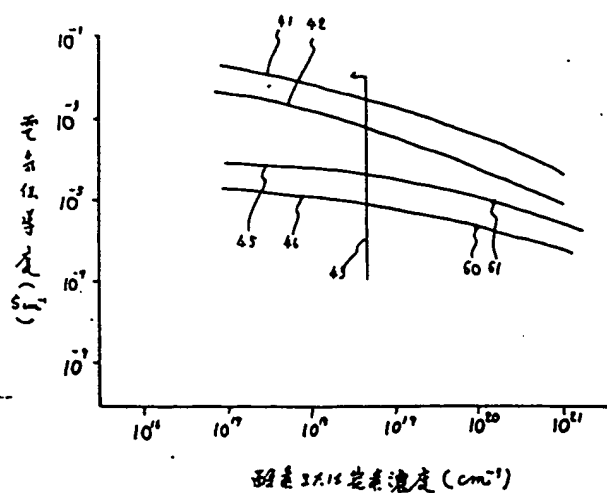
代表者 山 崎 舜 平



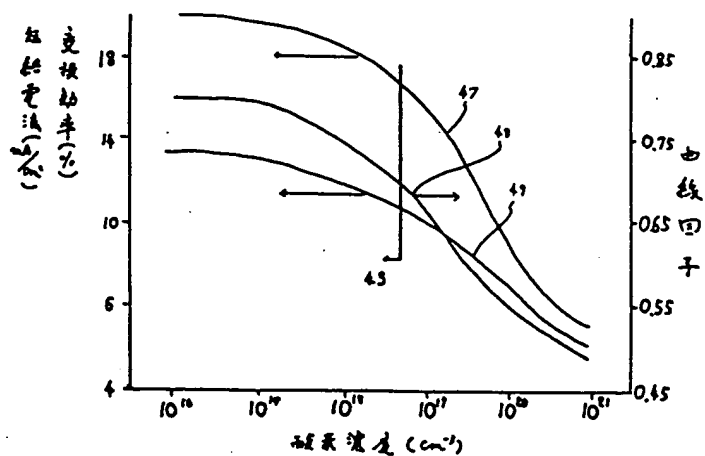
第 1 図



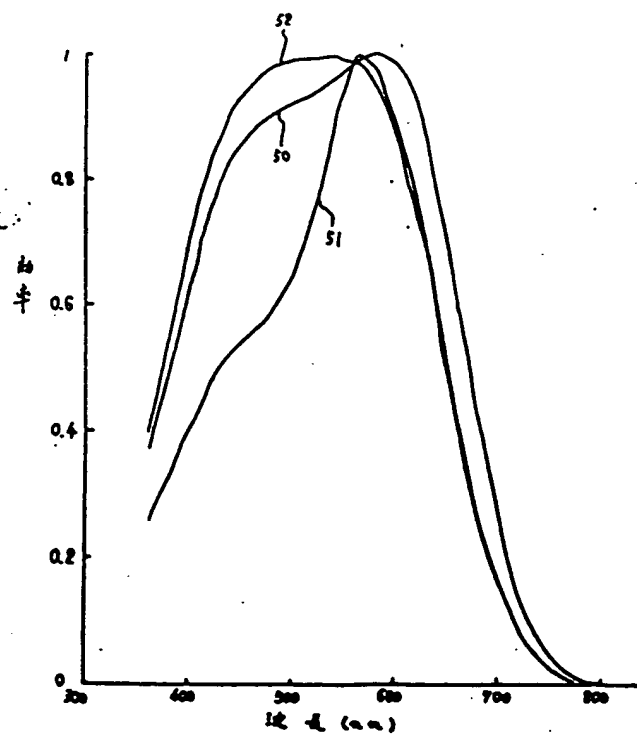
第 2 図



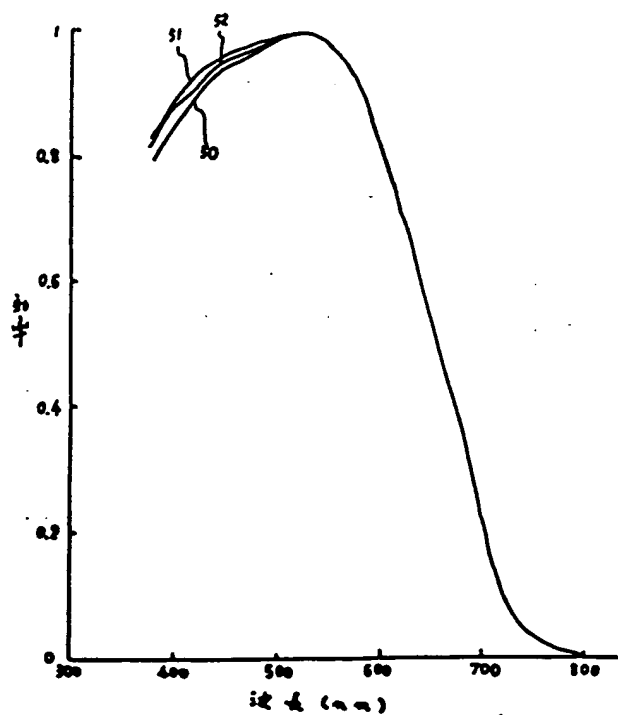
第3図



第5図



第6図



第7図